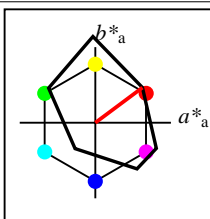


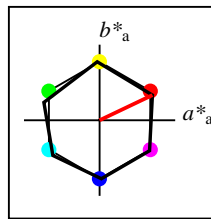
%Umfang
 $u^*_{rel} = 114$
%Regularität
 $g^*_{H,rel} = 28$
 $g^*_{C,rel} = 43$

FRS06	$L^*=L^*_a$	a^*_a	b^*_a	$C^*_{ab,a}$	$h^*_{ab,a}$
O _M	32.57	61.14	43.72	75.16	36
Y _M	82.73	-3.5	109.24	109.3	92
L _M	39.43	-62.86	42.8	76.06	146
C _M	47.86	-27.72	-37.61	46.74	234
V _M	10.16	53.56	-62.91	82.63	310
M _M	34.5	79.53	-36.76	87.62	335
N _M	6.25	-1.62	-1.72	2.38	227
W _M	91.97	-0.17	-5.1	5.11	268
R _{CIE}	39.92	58.74	27.99	65.07	25
J _{CIE}	81.26	-2.88	71.56	71.62	92
G _{CIE}	52.23	-42.41	13.6	44.55	162
B _{CIE}	30.57	1.41	-46.46	46.49	272



%Umfang
 $u^*_{rel} = 115$
%Regularität
 $g^*_{H,rel} = 28$
 $g^*_{C,rel} = 38$

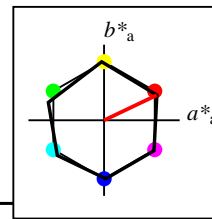
FRS06a; adaptierte CIELAB-Daten	$L^*=L^*_a$	a^*_a	b^*_a	$C^*_{ab,a}$	$h^*_{ab,a}$
O _{Ma}	32.57	62.32	46.49	77.75	37
Y _{Ma}	82.73	-3.16	113.99	114.03	92
L _{Ma}	39.43	-61.79	45.84	76.95	143
C _{Ma}	47.86	-26.79	-34.24	43.49	232
V _{Ma}	10.16	55.12	-61.03	82.24	312
M _{Ma}	34.5	80.68	-33.92	87.52	337
N _{Ma}	6.25	0.0	0.0	0.0	0
W _{Ma}	91.97	0.0	0.0	0.0	0
R _{CIE}	39.92	59.8	31.05	67.38	27
J _{CIE}	81.26	-2.52	76.25	76.29	92
G _{CIE}	52.23	-41.56	17.14	44.96	158
B _{CIE}	30.57	2.63	-43.77	43.86	273



%Umfang
 $u^*_{rel} = 100$
%Regularität
 $g^*_{H,rel} = 78$
 $g^*_{C,rel} = 100$

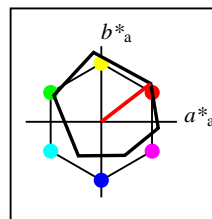
NRS18a; adaptierte CIELAB-Daten	$L^*=L^*_a$	a^*_a	b^*_a	$C^*_{ab,a}$	$h^*_{ab,a}$
O _{Ma}	56.71	69.87	33.29	77.4	25
Y _{Ma}	56.71	-3.1	77.34	77.4	92
L _{Ma}	56.71	-73.68	23.63	77.39	162
C _{Ma}	56.71	-61.81	-46.54	77.39	217
V _{Ma}	56.71	2.35	-77.34	77.39	272
M _{Ma}	56.71	66.07	-40.3	77.4	329
N _{Ma}	18.01	0.0	0.0	0.0	0
W _{Ma}	95.41	0.0	0.0	0.0	0
R _{CIE}	39.92	58.74	27.99	65.07	25
J _{CIE}	81.26	-2.88	71.56	71.62	92
G _{CIE}	52.23	-42.41	13.6	44.55	162
B _{CIE}	30.57	1.41	-46.46	46.49	272

Workflow-Wahlen
für Farbmuster:
1. keine Farbänderung
2. Buntton-Änderung
3. Buntheits-Änderung



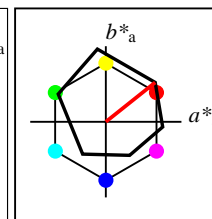
%Umfang
 $u^*_{rel} = 100$
%Regularität
 $g^*_{H,rel} = 78$
 $g^*_{C,rel} = 100$

NRS18a; adaptierte CIELAB-Daten	$L^*=L^*_a$	a^*_a	b^*_a	$C^*_{ab,a}$	$h^*_{ab,a}$
O _{Ma}	56.71	69.87	33.29	77.4	25
Y _{Ma}	56.71	-3.1	77.34	77.4	92
L _{Ma}	56.71	-73.68	23.63	77.39	162
C _{Ma}	56.71	-61.81	-46.54	77.39	217
V _{Ma}	56.71	2.35	-77.34	77.39	272
M _{Ma}	56.71	66.07	-40.3	77.4	329
N _{Ma}	18.01	0.0	0.0	0.0	0
W _{Ma}	95.41	0.0	0.0	0.0	0
R _{CIE}	39.92	58.74	27.99	65.07	25
J _{CIE}	81.26	-2.88	71.56	71.62	92
G _{CIE}	52.23	-42.41	13.6	44.55	162
B _{CIE}	30.57	1.41	-46.46	46.49	272



%Umfang
 $u^*_{rel} = 93$
%Regularität
 $g^*_{H,rel} = 57$
 $g^*_{C,rel} = 59$

ORS18a; adaptierte CIELAB-Daten	$L^*=L^*_a$	a^*_a	b^*_a	$C^*_{ab,a}$	$h^*_{ab,a}$
O _{Ma}	47.94	65.39	50.52	82.63	38
Y _{Ma}	90.37	-10.26	91.75	92.32	96
L _{Ma}	50.9	-62.83	34.96	71.91	151
C _{Ma}	58.62	-30.34	-45.01	54.3	236
V _{Ma}	25.72	31.1	-44.4	54.22	305
M _{Ma}	48.13	75.28	-8.36	75.74	354
N _{Ma}	18.01	0.0	0.0	0.0	0
W _{Ma}	95.41	0.0	0.0	0.0	0
R _{CIE}	39.92	58.66	26.98	64.57	25
J _{CIE}	81.26	-2.16	67.76	67.79	92
G _{CIE}	52.23	-42.25	11.76	43.87	164
B _{CIE}	30.57	1.15	-46.84	46.86	271



%Umfang
 $u^*_{rel} = 94$
%Regularität
 $g^*_{H,rel} = 58$
 $g^*_{C,rel} = 54$

ORS18	$L^*=L^*_a$	a^*_a	b^*_a	$C^*_{ab,a}$	$h^*_{ab,a}$
O _M	47.94	65.31	52.07	83.53	39
Y _M	90.37	-11.15	96.17	96.82	97
L _M	50.9	-62.96	36.71	72.89	150
C _M	58.62	-30.62	-42.74	52.59	234
V _M	25.72	31.45	-44.35	54.38	305
M _M	48.13	75.2	-6.79	75.51	355
N _M	18.01	0.5	-0.46	0.69	317
W _M	95.41	-0.98	4.76	4.86	102
R _{CIE}	39.92	58.74	27.99	65.07	25
J _{CIE}	81.26	-2.88	71.56	71.62	92
G _{CIE}	52.23	-42.41	13.6	44.55	162
B _{CIE}	30.57	1.41	-46.46	46.49	272

Relatives CIELAB-Buntheitsdiagramm: ($a_R^* = lab^*a$, $b_R^* = lab^*b$) und absolutes CIELAB Bunttondreiecks-Diagramm: (L^* , C_{ab}^*) für Ein- (---) und Ausgabe (----) FRS06: Eingabe (i) Farbmatrik-Sytem; Sechs Bunttonwinkel des Farbgerätes: (36.7, 91.6, 143.4, 232.0, 312.1, 337.2); Vier Bunttonwinkel der Elementarfarben: (27.4, 91.9, 157.6, 273.4) ORS18: Ausgabe (o) Farbmatrik-Sytem; Sechs Bunttonwinkel des Farbgerätes: (37.7, 96.4, 150.9, 236.0, 305.0, 353.7); Vier Bunttonwinkel der Elementarfarben: (24.7, 91.8, 164.5, 271.4)

Y Gelb

olv3Mi = 1.0 1.0 0.0
olv3Mo = 1.0 0.918 0.0
LCHMi = 82.7 114.0 92
LCHo = 86.9 91.5 92
tchMi = 0.5 1.0 0.254
tchMo = 0.5 1.0 0.254

L Laubgrün

olv3Mi = 0.0 1.0 0.0
olv3Mo = 0.137 1.0 0.0
LCHMi = 39.4 76.9 143
LCHo = 56.3 74.7 143
tchMi = 0.5 1.0 0.398
tchMo = 0.5 1.0 0.398

C Cyanblau

olv3Mi = 0.0 1.0 1.0
olv3Mo = 0.0 1.0 0.952
LCHMi = 47.9 43.5 232
LCHo = 58.3 55.1 232
tchMi = 0.5 1.0 0.644
tchMo = 0.5 1.0 0.644

O Orangerot

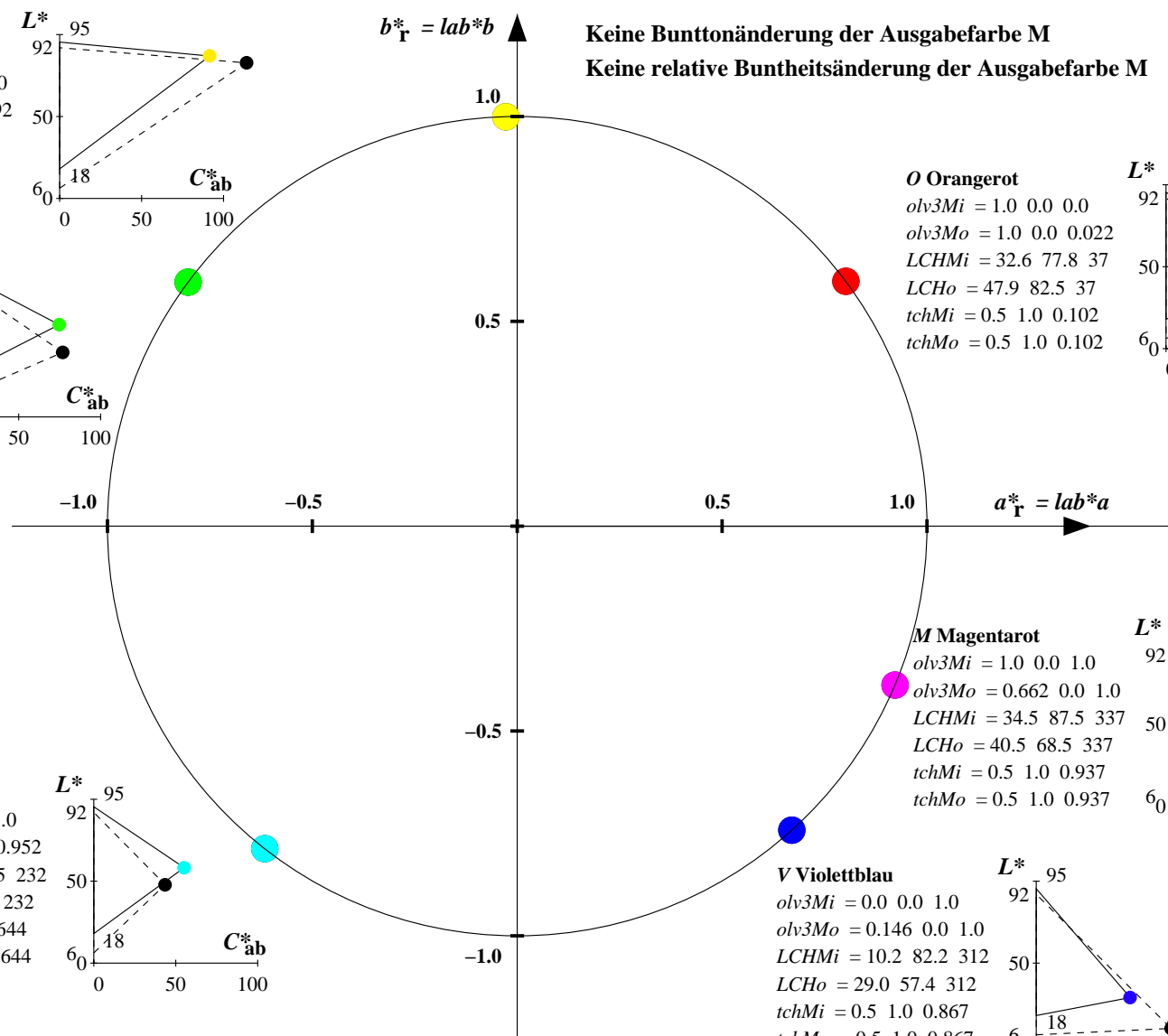
olv3Mi = 1.0 0.0 0.0
olv3Mo = 1.0 0.0 0.022
LCHMi = 32.6 77.8 37
LCHo = 47.9 82.5 37
tchMi = 0.5 1.0 0.102
tchMo = 0.5 1.0 0.102

M Magentarot

olv3Mi = 1.0 0.0 1.0
olv3Mo = 0.662 0.0 1.0
LCHMi = 34.5 87.5 337
LCHo = 40.5 68.5 337
tchMi = 0.5 1.0 0.937
tchMo = 0.5 1.0 0.937

V Violettblau

olv3Mi = 0.0 0.0 1.0
olv3Mo = 0.146 0.0 1.0
LCHMi = 10.2 82.2 312
LCHo = 29.0 57.4 312
tchMi = 0.5 1.0 0.867
tchMo = 0.5 1.0 0.867



Relatives CIELAB-Buntheitsdiagramm: ($a_R^* = lab^*a$, $b_R^* = lab^*b$) und absolutes CIELAB Bunttondreiecks-Diagramm: (L^* , C_{ab}^*) für Ein- (---) und Ausgabe (----) FRS06: Eingabe (i) Farbmatrik-Sytem; Sechs Bunttonwinkel des Farbgerätes: (36.7, 91.6, 143.4, 232.0, 312.1, 337.2); Vier Bunttonwinkel der Elementarfarben: (27.4, 91.9, 157.6, 273.4) ORS18: Ausgabe (o) Farbmatrik-Sytem; Sechs Bunttonwinkel des Farbgerätes: (37.7, 96.4, 150.9, 236.0, 305.0, 353.7); Vier Bunttonwinkel der Elementarfarben: (24.7, 91.8, 164.5, 271.4)

Y Gelb

$olv3Mi = 1.0 \ 1.0 \ 0.0$
 $olv3Mo = 0.904 \ 1.0 \ 0.0$
 $LCHMi = 82.7 \ 114.0 \ 92$
 $LCHo = 86.6 \ 90.4 \ 102$
 $tchMi = 0.5 \ 1.0 \ 0.254$
 $tchMo = 0.5 \ 1.0 \ 0.282$

L Laubgrün

$olv3Mi = 0.0 \ 1.0 \ 0.0$
 $olv3Mo = 0.0 \ 1.0 \ 0.03$
 $LCHMi = 39.4 \ 76.9 \ 143$
 $LCHo = 51.1 \ 71.4 \ 153$
 $tchMi = 0.5 \ 1.0 \ 0.398$
 $tchMo = 0.5 \ 1.0 \ 0.426$

C Cyanblau

$olv3Mi = 0.0 \ 1.0 \ 1.0$
 $olv3Mo = 0.0 \ 0.914 \ 1.0$
 $LCHMi = 47.9 \ 43.5 \ 232$
 $LCHo = 55.8 \ 54.3 \ 242$
 $tchMi = 0.5 \ 1.0 \ 0.644$
 $tchMo = 0.5 \ 1.0 \ 0.672$

V Violettblau

$olv3Mi = 0.0 \ 0.0 \ 1.0$
 $olv3Mo = 0.351 \ 0.0 \ 1.0$
 $LCHMi = 10.2 \ 82.2 \ 312$
 $LCHo = 33.6 \ 61.8 \ 322$
 $tchMi = 0.5 \ 1.0 \ 0.867$
 $tchMo = 0.5 \ 1.0 \ 0.895$

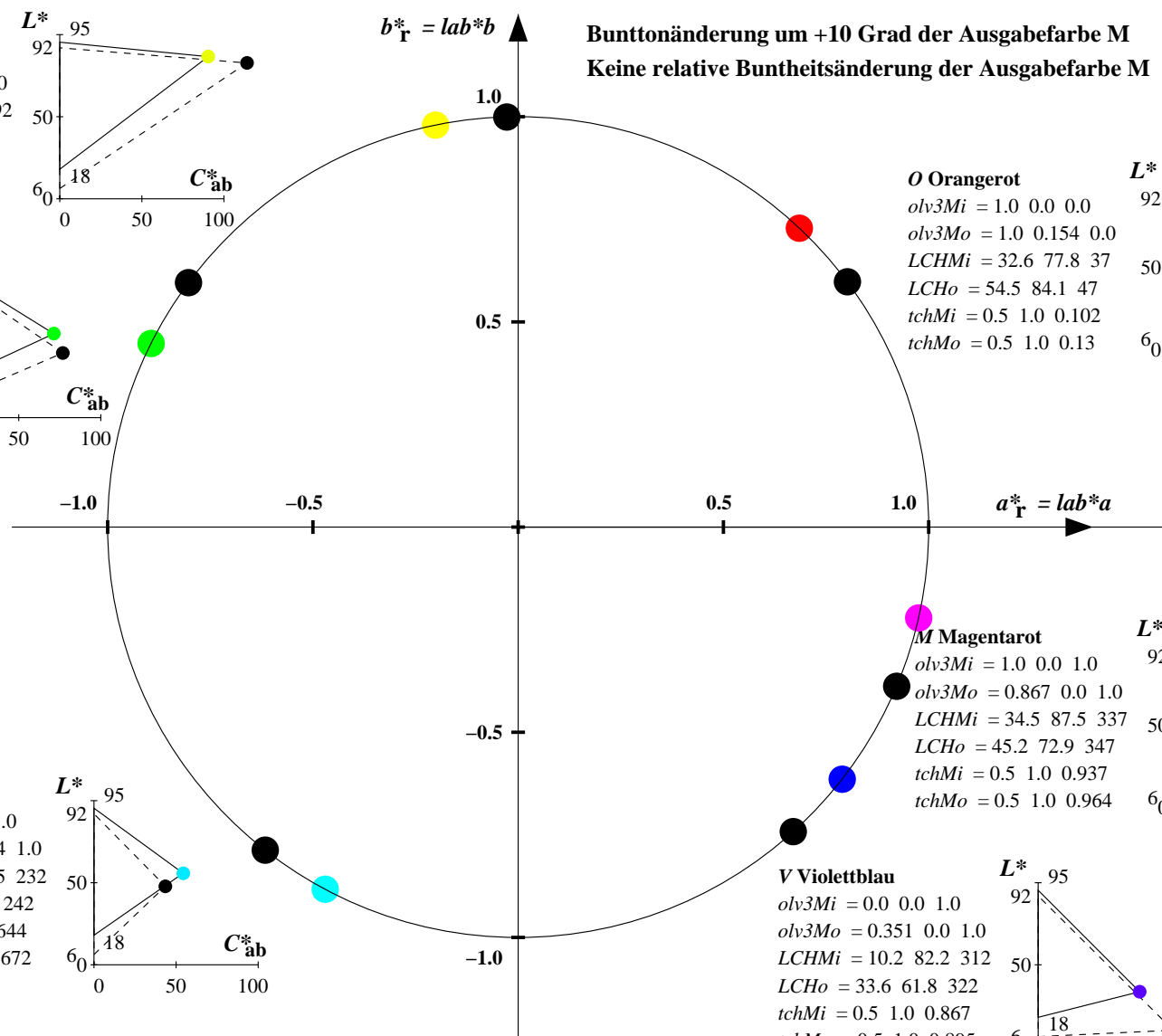
M Magentarot

$olv3Mi = 1.0 \ 0.0 \ 1.0$
 $olv3Mo = 0.867 \ 0.0 \ 1.0$
 $LCHMi = 34.5 \ 87.5 \ 337$
 $LCHo = 45.2 \ 72.9 \ 347$
 $tchMi = 0.5 \ 1.0 \ 0.937$
 $tchMo = 0.5 \ 1.0 \ 0.964$

O Orangerot

$olv3Mi = 1.0 \ 0.0 \ 0.0$
 $olv3Mo = 1.0 \ 0.154 \ 0.0$
 $LCHMi = 32.6 \ 77.8 \ 37$
 $LCHo = 54.5 \ 84.1 \ 47$
 $tchMi = 0.5 \ 1.0 \ 0.102$
 $tchMo = 0.5 \ 1.0 \ 0.13$

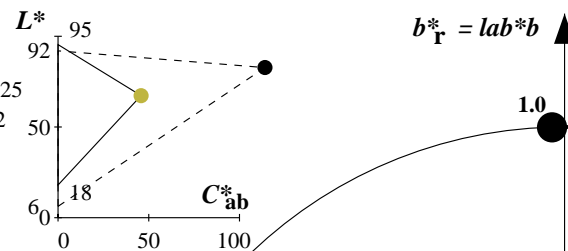
Bunttonänderung um +10 Grad der Ausgabefarbe M
Keine relative Buntheitsänderung der Ausgabefarbe M



Relatives CIELAB-Buntheitsdiagramm: ($a_R^* = lab^*a$, $b_R^* = lab^*b$) und absolutes CIELAB Bunttondreiecks-Diagramm: (L^* , C_{ab}^*) für Ein- (---) und Ausgabe (----) FRS06: Eingabe (i) Farbmatrik-Sytem; Sechs Bunttonwinkel des Farbgerätes: (36.7, 91.6, 143.4, 232.0, 312.1, 337.2); Vier Bunttonwinkel der Elementarfarben: (27.4, 91.9, 157.6, 273.4) ORS18: Ausgabe (o) Farbmatrik-Sytem; Sechs Bunttonwinkel des Farbgerätes: (37.7, 96.4, 150.9, 236.0, 305.0, 353.7); Vier Bunttonwinkel der Elementarfarben: (24.7, 91.8, 164.5, 271.4)

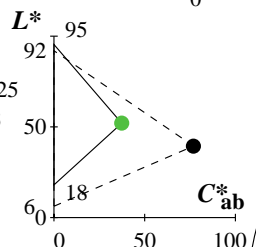
Y Gelb

olv3Mi = 1.0 1.0 0.0
olv3Mo = 0.75 0.709 0.25
LCHMi = 82.7 114.0 92
LCHo = 67.3 45.8 92
tchMi = 0.5 1.0 0.254
tchMo = 0.5 0.5 0.254



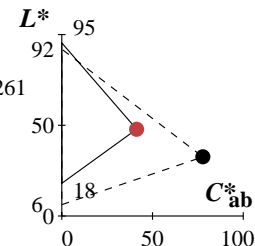
L Laubgrün

olv3Mi = 0.0 1.0 0.0
olv3Mo = 0.319 0.75 0.25
LCHMi = 39.4 76.9 143
LCHo = 52.0 37.4 143
tchMi = 0.5 1.0 0.398
tchMo = 0.5 0.5 0.398



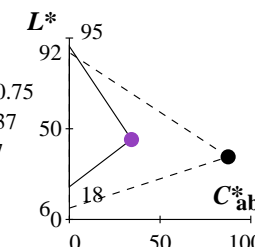
O Orangerot

olv3Mi = 1.0 0.0 0.0
olv3Mo = 0.75 0.25 0.261
LCHMi = 32.6 77.8 37
LCHo = 47.8 41.2 37
tchMi = 0.5 1.0 0.102
tchMo = 0.5 0.5 0.102



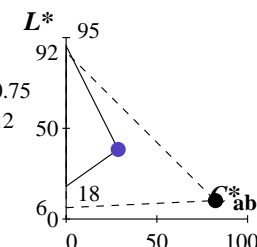
M Magentarot

olv3Mi = 1.0 0.0 1.0
olv3Mo = 0.581 0.25 0.75
LCHMi = 34.5 87.5 337
LCHo = 44.1 34.2 337
tchMi = 0.5 1.0 0.937
tchMo = 0.5 0.5 0.937



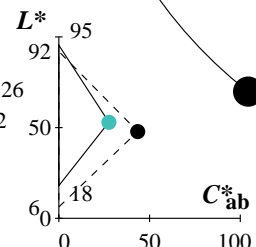
V Violettblau

olv3Mi = 0.0 0.0 1.0
olv3Mo = 0.323 0.25 0.75
LCHMi = 10.2 82.2 312
LCHo = 38.3 28.7 312
tchMi = 0.5 1.0 0.867
tchMo = 0.5 0.5 0.867



C Cyanblau

olv3Mi = 0.0 1.0 1.0
olv3Mo = 0.25 0.75 0.726
LCHMi = 47.9 43.5 232
LCHo = 53.0 27.6 232
tchMi = 0.5 1.0 0.644
tchMo = 0.5 0.5 0.644

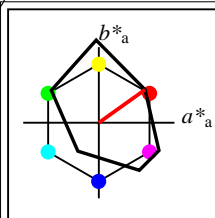


Keine Bunttonänderung der Ausgabefarbe M

Änderung auf halbe relative Buntheit der Ausgabefarbe M

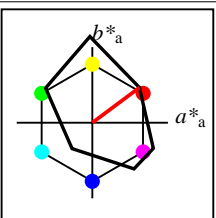
Siehe ähnliche Dateien: <http://www.ps.bam.de/YG62/>
Technische Information: <http://www.ps.bam.de> Version 2.1, io=1,1

BAM-Registrierung: 20061101-YG62/10L/L62G20NP.PS/.PDF BAM-Material: Code=rh4ta
Anwendung für Beurteilung und Messung von Drucker- oder Monitorssystemen
/YG62/ Form: 5/8, Seite: 1/1, Seite: 5
Seite 5



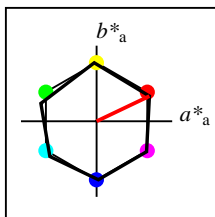
%Umfang
 $u^*_{rel} = 114$
%Regularität
 $g^*_{H,rel} = 28$
 $g^*_{C,rel} = 43$

FRS06	$L^*=L^*_a$	a^*_a	b^*_a	$C^*_{ab,a}$	$h^*_{ab,a}$
O _M	32.57	61.14	43.72	75.16	36
Y _M	82.73	-3.5	109.24	109.3	92
L _M	39.43	-62.86	42.8	76.06	146
C _M	47.86	-27.72	-37.61	46.74	234
V _M	10.16	53.56	-62.91	82.63	310
M _M	34.5	79.53	-36.76	87.62	335
N _M	6.25	-1.62	-1.72	2.38	227
W _M	91.97	-0.17	-5.1	5.11	268
R _{CIE}	39.92	58.74	27.99	65.07	25
J _{CIE}	81.26	-2.88	71.56	71.62	92
G _{CIE}	52.23	-42.41	13.6	44.55	162
B _{CIE}	30.57	1.41	-46.46	46.49	272



%Umfang
 $u^*_{rel} = 115$
%Regularität
 $g^*_{H,rel} = 28$
 $g^*_{C,rel} = 38$

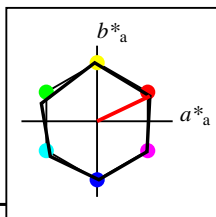
FRS06a; adaptierte CIELAB-Daten	$L^*=L^*_a$	a^*_a	b^*_a	$C^*_{ab,a}$	$h^*_{ab,a}$
O _{Ma}	32.57	62.32	46.49	77.75	37
Y _{Ma}	82.73	-3.16	113.99	114.03	92
L _{Ma}	39.43	-61.79	45.84	76.95	143
C _{Ma}	47.86	-26.79	-34.24	43.49	232
V _{Ma}	10.16	55.12	-61.03	82.24	312
M _{Ma}	34.5	80.68	-33.92	87.52	337
N _{Ma}	6.25	0.0	0.0	0.0	0
W _{Ma}	91.97	0.0	0.0	0.0	0
R _{CIE}	39.92	59.8	31.05	67.38	27
J _{CIE}	81.26	-2.52	76.25	76.29	92
G _{CIE}	52.23	-41.56	17.14	44.96	158
B _{CIE}	30.57	2.63	-43.77	43.86	273



%Umfang
 $u^*_{rel} = 100$
%Regularität
 $g^*_{H,rel} = 78$
 $g^*_{C,rel} = 100$

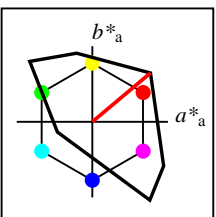
NRS18a; adaptierte CIELAB-Daten	$L^*=L^*_a$	a^*_a	b^*_a	$C^*_{ab,a}$	$h^*_{ab,a}$
O _{Ma}	56.71	69.87	33.29	77.4	25
Y _{Ma}	56.71	-3.1	77.34	77.4	92
L _{Ma}	56.71	-73.68	23.63	77.39	162
C _{Ma}	56.71	-61.81	-46.54	77.39	217
V _{Ma}	56.71	2.35	-77.34	77.39	272
M _{Ma}	56.71	66.07	-40.3	77.4	329
N _{Ma}	18.01	0.0	0.0	0.0	0
W _{Ma}	95.41	0.0	0.0	0.0	0
R _{CIE}	39.92	58.74	27.99	65.07	25
J _{CIE}	81.26	-2.88	71.56	71.62	92
G _{CIE}	52.23	-42.41	13.6	44.55	162
B _{CIE}	30.57	1.41	-46.46	46.49	272

Workflow-Wahlen
für Farbmuster:
1. keine Farbänderung
2. Buntton-Änderung
3. Buntheits-Änderung



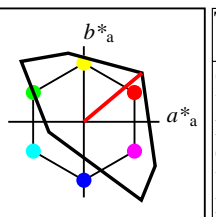
%Umfang
 $u^*_{rel} = 100$
%Regularität
 $g^*_{H,rel} = 78$
 $g^*_{C,rel} = 100$

NRS18a; adaptierte CIELAB-Daten	$L^*=L^*_a$	a^*_a	b^*_a	$C^*_{ab,a}$	$h^*_{ab,a}$
O _{Ma}	56.71	69.87	33.29	77.4	25
Y _{Ma}	56.71	-3.1	77.34	77.4	92
L _{Ma}	56.71	-73.68	23.63	77.39	162
C _{Ma}	56.71	-61.81	-46.54	77.39	217
V _{Ma}	56.71	2.35	-77.34	77.39	272
M _{Ma}	56.71	66.07	-40.3	77.4	329
N _{Ma}	18.01	0.0	0.0	0.0	0
W _{Ma}	95.41	0.0	0.0	0.0	0
R _{CIE}	39.92	58.74	27.99	65.07	25
J _{CIE}	81.26	-2.88	71.56	71.62	92
G _{CIE}	52.23	-42.41	13.6	44.55	162
B _{CIE}	30.57	1.41	-46.46	46.49	272



%Umfang
 $u^*_{rel} = 158$
%Regularität
 $g^*_{H,rel} = 20$
 $g^*_{C,rel} = 37$

TLS00a; adaptierte CIELAB-Daten	$L^*=L^*_a$	a^*_a	b^*_a	$C^*_{ab,a}$	$h^*_{ab,a}$
O _{Ma}	50.5	76.92	64.55	100.42	40
Y _{Ma}	92.66	-20.69	90.75	93.08	103
L _{Ma}	83.63	-82.75	79.9	115.04	136
C _{Ma}	86.88	-46.16	-13.55	48.12	196
V _{Ma}	30.39	76.06	-103.59	128.52	306
M _{Ma}	57.3	94.35	-58.41	110.97	328
N _{Ma}	0.01	0.0	0.0	0.0	0
W _{Ma}	95.41	0.0	0.0	0.0	0
R _{CIE}	39.92	58.74	27.99	65.07	25
J _{CIE}	81.26	-2.88	71.56	71.62	92
G _{CIE}	52.23	-42.41	13.6	44.55	162
B _{CIE}	30.57	1.41	-46.46	46.49	272



%Umfang
 $u^*_{rel} = 158$
%Regularität
 $g^*_{H,rel} = 20$
 $g^*_{C,rel} = 37$

TLS00	$L^*=L^*_a$	a^*_a	b^*_a	$C^*_{ab,a}$	$h^*_{ab,a}$
O _M	50.5	76.92	64.55	100.42	40
Y _M	92.66	-20.69	90.75	93.08	103
L _M	83.63	-82.75	79.9	115.04	136
C _M	86.88	-46.16	-13.55	48.12	196
V _M	30.39	76.06	-103.59	128.52	306
M _M	57.3	94.35	-58.41	110.97	328
N _M	0.01	0.0	0.0	0.0	0
W _M	95.41	0.0	0.0	0.0	0
R _{CIE}	39.92	58.74	27.99	65.07	25
J _{CIE}	81.26	-2.88	71.56	71.62	92
G _{CIE}	52.23	-42.41	13.6	44.55	162
B _{CIE}	30.57	1.41	-46.46	46.49	272

YG620-7, Farb-Management-Workflow: Geräte-Farbeingabedaten des Farbenraums FRS06 -> Geräte-Farbausgabedaten des Farbenraums TLS00, Seite 5/32

BAM-Prüfvorlage YG62; Farbmetrikworkflow FRS06->TLS00 Eingabe: *olv* setrgbcolor*
D65: 6 Grundfarben; Geräte- und Musterdaten; Seite 5/32 Ausgabe: keine Eingabeänderung

Relatives CIELAB-Buntheitsdiagramm: ($a_R^* = lab^*a$, $b_R^* = lab^*b$) und absolutes CIELAB Bunttondreiecks-Diagramm: (L^* , C_{ab}^*) für Ein- (---) und Ausgabe (----) FRS06: Eingabe (i) Farbmatrik-Sytem; Sechs Bunttonwinkel des Farbgerätes: (36.7, 91.6, 143.4, 232.0, 312.1, 337.2); Vier Bunttonwinkel der Elementarfarben: (27.4, 91.9, 157.6, 273.4)
TLS00: Ausgabe (o) Farbmatrik-Sytem; Sechs Bunttonwinkel des Farbgerätes: (40.0, 102.8, 136.0, 196.4, 306.3, 328.2); Vier Bunttonwinkel der Elementarfarben: (25.5, 92.3, 162.2, 271.7)

Y Gelb

olv3Mi = 1.0 1.0 0.0
olv3Mo = 1.0 0.821 0.0
LCHMi = 82.7 114.0 92
LCHo = 85.1 94.4 92
tchMi = 0.5 1.0 0.254
tchMo = 0.5 1.0 0.254

L Laubgrün

olv3Mi = 0.0 1.0 0.0
olv3Mo = 0.0 1.0 0.123
LCHMi = 39.4 76.9 143
LCHo = 84.0 106.8 143
tchMi = 0.5 1.0 0.398
tchMo = 0.5 1.0 0.398

C Cyanblau

olv3Mi = 0.0 1.0 1.0
olv3Mo = 0.0 0.676 1.0
LCHMi = 47.9 43.5 232
LCHo = 68.6 74.2 232
tchMi = 0.5 1.0 0.644
tchMo = 0.5 1.0 0.644

V Violettblau

olv3Mi = 0.0 0.0 1.0
olv3Mo = 0.264 0.0 1.0
LCHMi = 10.2 82.2 312
LCHo = 37.5 123.9 312
tchMi = 0.5 1.0 0.867
tchMo = 0.5 1.0 0.867

M Magentarot

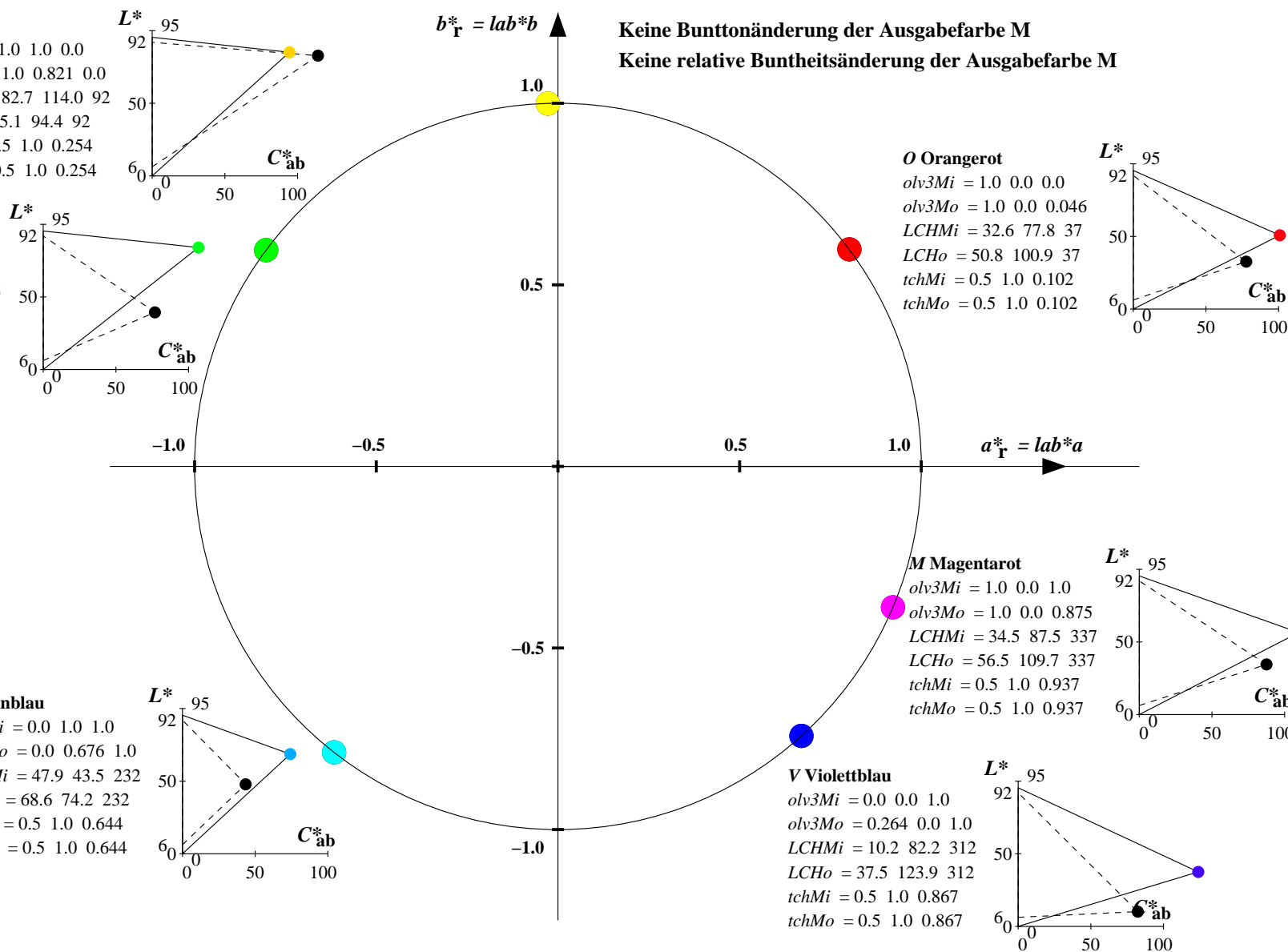
olv3Mi = 1.0 0.0 1.0
olv3Mo = 1.0 0.0 0.875
LCHMi = 34.5 87.5 337
LCHo = 56.5 109.7 337
tchMi = 0.5 1.0 0.937
tchMo = 0.5 1.0 0.937

O Orangerot

olv3Mi = 1.0 0.0 0.0
olv3Mo = 1.0 0.0 0.046
LCHMi = 32.6 77.8 37
LCHo = 50.8 100.9 37
tchMi = 0.5 1.0 0.102
tchMo = 0.5 1.0 0.102

Keine Bunttonänderung der Ausgabefarbe M

Keine relative Buntheitsänderung der Ausgabefarbe M



Relatives CIELAB-Buntheitsdiagramm: ($a_R^* = lab^*a$, $b_R^* = lab^*b$) und absolutes CIELAB Bunttondreiecks-Diagramm: (L^* , C_{ab}^*) für Ein- (---) und Ausgabe (----) FRS06: Eingabe (i) Farbmatrik-Sytem; Sechs Bunttonwinkel des Farbgerätes: (36.7, 91.6, 143.4, 232.0, 312.1, 337.2); Vier Bunttonwinkel der Elementarfarben: (27.4, 91.9, 157.6, 273.4)
TLS00: Ausgabe (o) Farbmatrik-Sytem; Sechs Bunttonwinkel des Farbgerätes: (40.0, 102.8, 136.0, 196.4, 306.3, 328.2); Vier Bunttonwinkel der Elementarfarben: (25.5, 92.3, 162.2, 271.7)

Y Gelb

olv3Mi = 1.0 1.0 0.0
olv3Mo = 1.0 0.98 0.0
LCHMi = 82.7 114.0 92
LCHo = 91.8 93.2 102
tchMi = 0.5 1.0 0.254
tchMo = 0.5 1.0 0.282

L Laubgrün

olv3Mi = 0.0 1.0 0.0
olv3Mo = 0.0 1.0 0.289
LCHMi = 39.4 76.9 143
LCHo = 84.6 95.7 153
tchMi = 0.5 1.0 0.398
tchMo = 0.5 1.0 0.426

C Cyanblau

olv3Mi = 0.0 1.0 1.0
olv3Mo = 0.0 0.585 1.0
LCHMi = 47.9 43.5 232
LCHo = 63.4 81.5 242
tchMi = 0.5 1.0 0.644
tchMo = 0.5 1.0 0.672

V Violettblau

olv3Mi = 0.0 0.0 1.0
olv3Mo = 0.72 0.0 1.0
LCHMi = 10.2 82.2 312
LCHo = 49.8 115.9 322
tchMi = 0.5 1.0 0.867
tchMo = 0.5 1.0 0.895

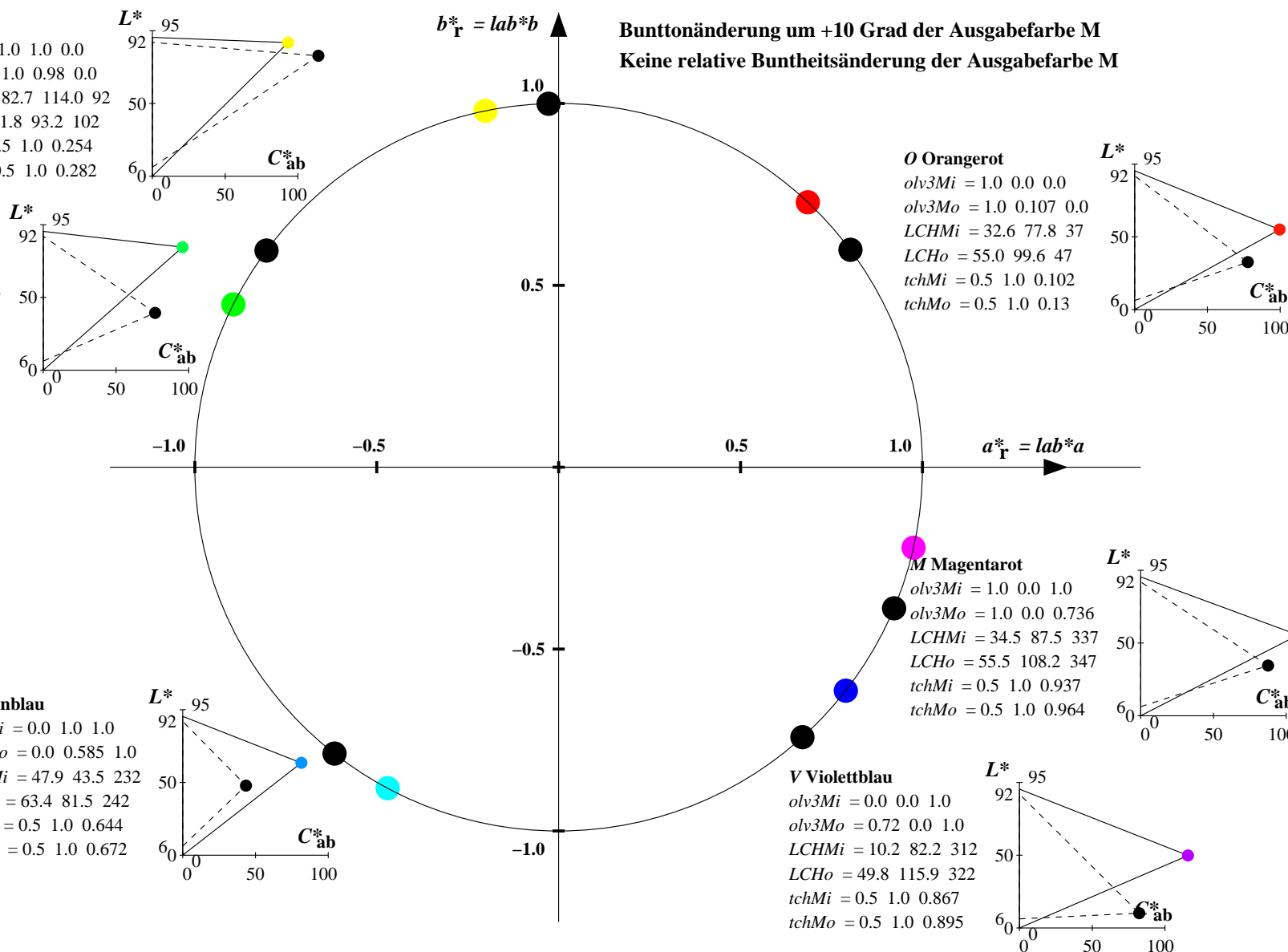
M Magentarot

olv3Mi = 1.0 0.0 1.0
olv3Mo = 1.0 0.0 0.736
LCHMi = 34.5 87.5 337
LCHo = 55.5 108.2 347
tchMi = 0.5 1.0 0.937
tchMo = 0.5 1.0 0.964

O Orangerot

olv3Mi = 1.0 0.0 0.0
olv3Mo = 1.0 0.107 0.0
LCHMi = 32.6 77.8 37
LCHo = 55.0 99.6 47
tchMi = 0.5 1.0 0.102
tchMo = 0.5 1.0 0.13

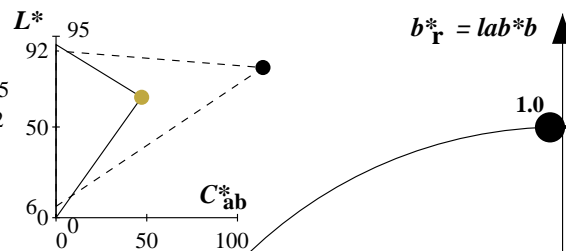
Bunttonänderung um +10 Grad der Ausgabefarbe M
Keine relative Buntheitsänderung der Ausgabefarbe M



Relatives CIELAB-Buntheitsdiagramm: ($a_R^* = lab^*a$, $b_R^* = lab^*b$) und absolutes CIELAB Bunttondreiecks-Diagramm: (L^* , C_{ab}^*) für Ein- (---) und Ausgabe (----) FRS06: Eingabe (i) Farbmatrik-Sytem; Sechs Bunttonwinkel des Farbgerätes: (36.7, 91.6, 143.4, 232.0, 312.1, 337.2); Vier Bunttonwinkel der Elementarfarben: (27.4, 91.9, 157.6, 273.4)
TLS00: Ausgabe (o) Farbmatrik-Sytem; Sechs Bunttonwinkel des Farbgerätes: (40.0, 102.8, 136.0, 196.4, 306.3, 328.2); Vier Bunttonwinkel der Elementarfarben: (25.5, 92.3, 162.2, 271.7)

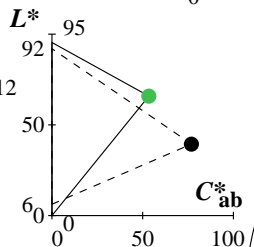
Y Gelb

olv3Mi = 1.0 1.0 0.0
olv3Mo = 0.75 0.66 0.25
LCHMi = 82.7 114.0 92
LCHo = 66.4 47.2 92
tchMi = 0.5 1.0 0.254
tchMo = 0.5 0.5 0.254



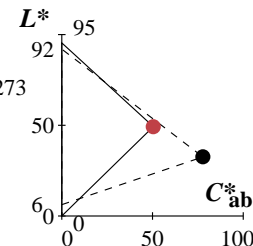
L Laubgrün

olv3Mi = 0.0 1.0 0.0
olv3Mo = 0.25 0.75 0.312
LCHMi = 39.4 76.9 143
LCHo = 65.9 53.4 143
tchMi = 0.5 1.0 0.398
tchMo = 0.5 0.5 0.398



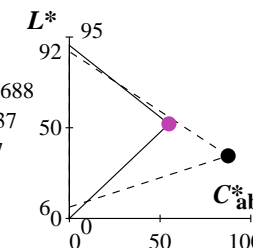
O Orangerot

olv3Mi = 1.0 0.0 0.0
olv3Mo = 0.75 0.25 0.273
LCHMi = 32.6 77.8 37
LCHo = 49.3 50.4 37
tchMi = 0.5 1.0 0.102
tchMo = 0.5 0.5 0.102



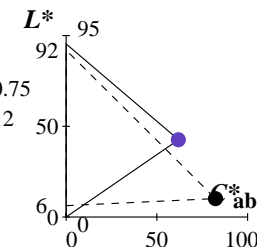
M Magentarot

olv3Mi = 1.0 0.0 1.0
olv3Mo = 0.75 0.25 0.688
LCHMi = 34.5 87.5 337
LCHo = 52.1 54.8 337
tchMi = 0.5 1.0 0.937
tchMo = 0.5 0.5 0.937



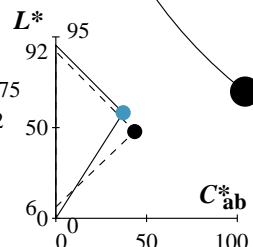
V Violettblau

olv3Mi = 0.0 0.0 1.0
olv3Mo = 0.382 0.25 0.75
LCHMi = 10.2 82.2 312
LCHo = 42.6 61.9 312
tchMi = 0.5 1.0 0.867
tchMo = 0.5 0.5 0.867



C Cyanblau

olv3Mi = 0.0 1.0 1.0
olv3Mo = 0.25 0.588 0.75
LCHMi = 47.9 43.5 232
LCHo = 58.1 37.1 232
tchMi = 0.5 1.0 0.644
tchMo = 0.5 0.5 0.644

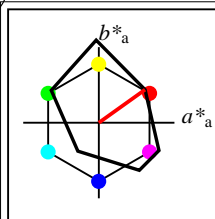


Keine Bunttonänderung der Ausgabefarbe M

Änderung auf halbe relative Buntheit der Ausgabefarbe M

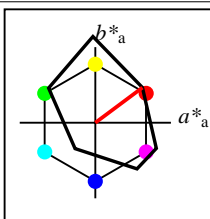
Siehe ähnliche Dateien: <http://www.ps.bam.de/YG62/>
Technische Information: <http://www.ps.bam.de> Version 2.1, io=1,1

BAM-Registrierung: 20061101-YG62/10L/L62G20NP.PS/.PDF BAM-Material: Code=rh4ta
Anwendung für Beurteilung und Messung von Drucker- oder Monitorssystemen
/YG62/ Form: 88, Serie: 1/1, Seite: 8
Seite: 8/32



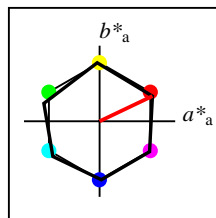
%Umfang
 $u^*_{rel} = 114$
%Regularität
 $g^*_{H,rel} = 28$
 $g^*_{C,rel} = 43$

FRS06	$L^*=L^*_a$	a^*_a	b^*_a	$C^*_{ab,a}$	$h^*_{ab,a}$
O _M	32.57	61.14	43.72	75.16	36
Y _M	82.73	-3.5	109.24	109.3	92
L _M	39.43	-62.86	42.8	76.06	146
C _M	47.86	-27.72	-37.61	46.74	234
V _M	10.16	53.56	-62.91	82.63	310
M _M	34.5	79.53	-36.76	87.62	335
N _M	6.25	-1.62	-1.72	2.38	227
W _M	91.97	-0.17	-5.1	5.11	268
R _{CIE}	39.92	58.74	27.99	65.07	25
J _{CIE}	81.26	-2.88	71.56	71.62	92
G _{CIE}	52.23	-42.41	13.6	44.55	162
B _{CIE}	30.57	1.41	-46.46	46.49	272



%Umfang
 $u^*_{rel} = 115$
%Regularität
 $g^*_{H,rel} = 28$
 $g^*_{C,rel} = 38$

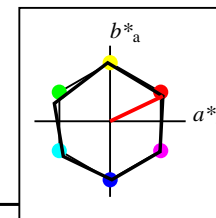
FRS06a; adaptierte CIELAB-Daten	$L^*=L^*_a$	a^*_a	b^*_a	$C^*_{ab,a}$	$h^*_{ab,a}$
O _{Ma}	32.57	62.32	46.49	77.75	37
Y _{Ma}	82.73	-3.16	113.99	114.03	92
L _{Ma}	39.43	-61.79	45.84	76.95	143
C _{Ma}	47.86	-26.79	-34.24	43.49	232
V _{Ma}	10.16	55.12	-61.03	82.24	312
M _{Ma}	34.5	80.68	-33.92	87.52	337
N _{Ma}	6.25	0.0	0.0	0.0	0
W _{Ma}	91.97	0.0	0.0	0.0	0
R _{CIE}	39.92	59.8	31.05	67.38	27
J _{CIE}	81.26	-2.52	76.25	76.29	92
G _{CIE}	52.23	-41.56	17.14	44.96	158
B _{CIE}	30.57	2.63	-43.77	43.86	273



%Umfang
 $u^*_{rel} = 100$
%Regularität
 $g^*_{H,rel} = 78$
 $g^*_{C,rel} = 100$

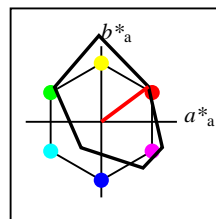
NRS18a; adaptierte CIELAB-Daten	$L^*=L^*_a$	a^*_a	b^*_a	$C^*_{ab,a}$	$h^*_{ab,a}$
O _{Ma}	56.71	69.87	33.29	77.4	25
Y _{Ma}	56.71	-3.1	77.34	77.4	92
L _{Ma}	56.71	-73.68	23.63	77.39	162
C _{Ma}	56.71	-61.81	-46.54	77.39	217
V _{Ma}	56.71	2.35	-77.34	77.39	272
M _{Ma}	56.71	66.07	-40.3	77.4	329
N _{Ma}	18.01	0.0	0.0	0.0	0
W _{Ma}	95.41	0.0	0.0	0.0	0
R _{CIE}	39.92	58.74	27.99	65.07	25
J _{CIE}	81.26	-2.88	71.56	71.62	92
G _{CIE}	52.23	-42.41	13.6	44.55	162
B _{CIE}	30.57	1.41	-46.46	46.49	272

Workflow-Wahlen
für Farbmuster:
1. keine Farbänderung
2. Buntton-Änderung
3. Buntheits-Änderung



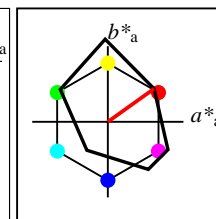
%Umfang
 $u^*_{rel} = 100$
%Regularität
 $g^*_{H,rel} = 78$
 $g^*_{C,rel} = 100$

NRS18a; adaptierte CIELAB-Daten	$L^*=L^*_a$	a^*_a	b^*_a	$C^*_{ab,a}$	$h^*_{ab,a}$
O _{Ma}	56.71	69.87	33.29	77.4	25
Y _{Ma}	56.71	-3.1	77.34	77.4	92
L _{Ma}	56.71	-73.68	23.63	77.39	162
C _{Ma}	56.71	-61.81	-46.54	77.39	217
V _{Ma}	56.71	2.35	-77.34	77.39	272
M _{Ma}	56.71	66.07	-40.3	77.4	329
N _{Ma}	18.01	0.0	0.0	0.0	0
W _{Ma}	95.41	0.0	0.0	0.0	0
R _{CIE}	39.92	58.74	27.99	65.07	25
J _{CIE}	81.26	-2.88	71.56	71.62	92
G _{CIE}	52.23	-42.41	13.6	44.55	162
B _{CIE}	30.57	1.41	-46.46	46.49	272



%Umfang
 $u^*_{rel} = 115$
%Regularität
 $g^*_{H,rel} = 28$
 $g^*_{C,rel} = 38$

FRS06a; adaptierte CIELAB-Daten	$L^*=L^*_a$	a^*_a	b^*_a	$C^*_{ab,a}$	$h^*_{ab,a}$
O _{Ma}	32.57	62.32	46.49	77.75	37
Y _{Ma}	82.73	-3.16	113.99	114.03	92
L _{Ma}	39.43	-61.79	45.84	76.95	143
C _{Ma}	47.86	-26.79	-34.24	43.49	232
V _{Ma}	10.16	55.12	-61.03	82.24	312
M _{Ma}	34.5	80.68	-33.92	87.52	337
N _{Ma}	6.25	0.0	0.0	0.0	0
W _{Ma}	91.97	0.0	0.0	0.0	0
R _{CIE}	39.92	59.8	31.05	67.38	27
J _{CIE}	81.26	-2.52	76.25	76.29	92
G _{CIE}	52.23	-41.56	17.14	44.96	158
B _{CIE}	30.57	2.63	-43.77	43.86	273



%Umfang
 $u^*_{rel} = 114$
%Regularität
 $g^*_{H,rel} = 28$
 $g^*_{C,rel} = 43$

FRS06	$L^*=L^*_a$	a^*_a	b^*_a	$C^*_{ab,a}$	$h^*_{ab,a}$
O _M	32.57	61.14	43.72	75.16	36
Y _M	82.73	-3.5	109.24	109.3	92
L _M	39.43	-62.86	42.8	76.06	146
C _M	47.86	-27.72	-37.61	46.74	234
V _M	10.16	53.56	-62.91	82.63	310
M _M	34.5	79.53	-36.76	87.62	335
N _M	6.25	-1.62	-1.72	2.38	227
W _M	91.97	-0.17	-5.1	5.11	268
R _{CIE}	39.92	58.74	27.99	65.07	25
J _{CIE}	81.26	-2.88	71.56	71.62	92
G _{CIE}	52.23	-42.41	13.6	44.55	162
B _{CIE}	30.57	1.41	-46.46	46.49	272

Relatives CIELAB-Buntheitsdiagramm: ($a_R^* = lab^*a$, $b_R^* = lab^*b$) und absolutes CIELAB Bunttondreiecks-Diagramm: (L^* , C_{ab}^*) für Ein- (---) und Ausgabe (----) FRS06: Eingabe (i) Farbmatrik-Sytem; Sechs Bunttonwinkel des Farbgerätes: (36.7, 91.6, 143.4, 232.0, 312.1, 337.2); Vier Bunttonwinkel der Elementarfarben: (27.4, 91.9, 157.6, 273.4)
FRS06: Ausgabe (o) Farbmatrik-Sytem; Sechs Bunttonwinkel des Farbgerätes: (36.7, 91.6, 143.4, 232.0, 312.1, 337.2); Vier Bunttonwinkel der Elementarfarben: (27.4, 91.9, 157.6, 273.4)

Y Gelb

olv3Mi = 1.0 1.0 0.0
olv3Mo = 1.0 1.0 0.0
LCHMi = 82.7 114.0 92
LCHo = 82.7 114.0 92
tchMi = 0.5 1.0 0.254
tchMo = 0.5 1.0 0.254

L Laubgrün

olv3Mi = 0.0 1.0 0.0
olv3Mo = 0.0 1.0 0.0
LCHMi = 39.4 76.9 143
LCHo = 39.4 76.9 143
tchMi = 0.5 1.0 0.398
tchMo = 0.5 1.0 0.398

C Cyanblau

olv3Mi = 0.0 1.0 1.0
olv3Mo = 0.0 1.0 1.0
LCHMi = 47.9 43.5 232
LCHo = 47.9 43.5 232
tchMi = 0.5 1.0 0.644
tchMo = 0.5 1.0 0.644

O Orangerot

olv3Mi = 1.0 0.0 0.0
olv3Mo = 1.0 0.0 0.0
LCHMi = 32.6 77.8 37
LCHo = 32.6 77.8 37
tchMi = 0.5 1.0 0.102
tchMo = 0.5 1.0 0.102

M Magentarot

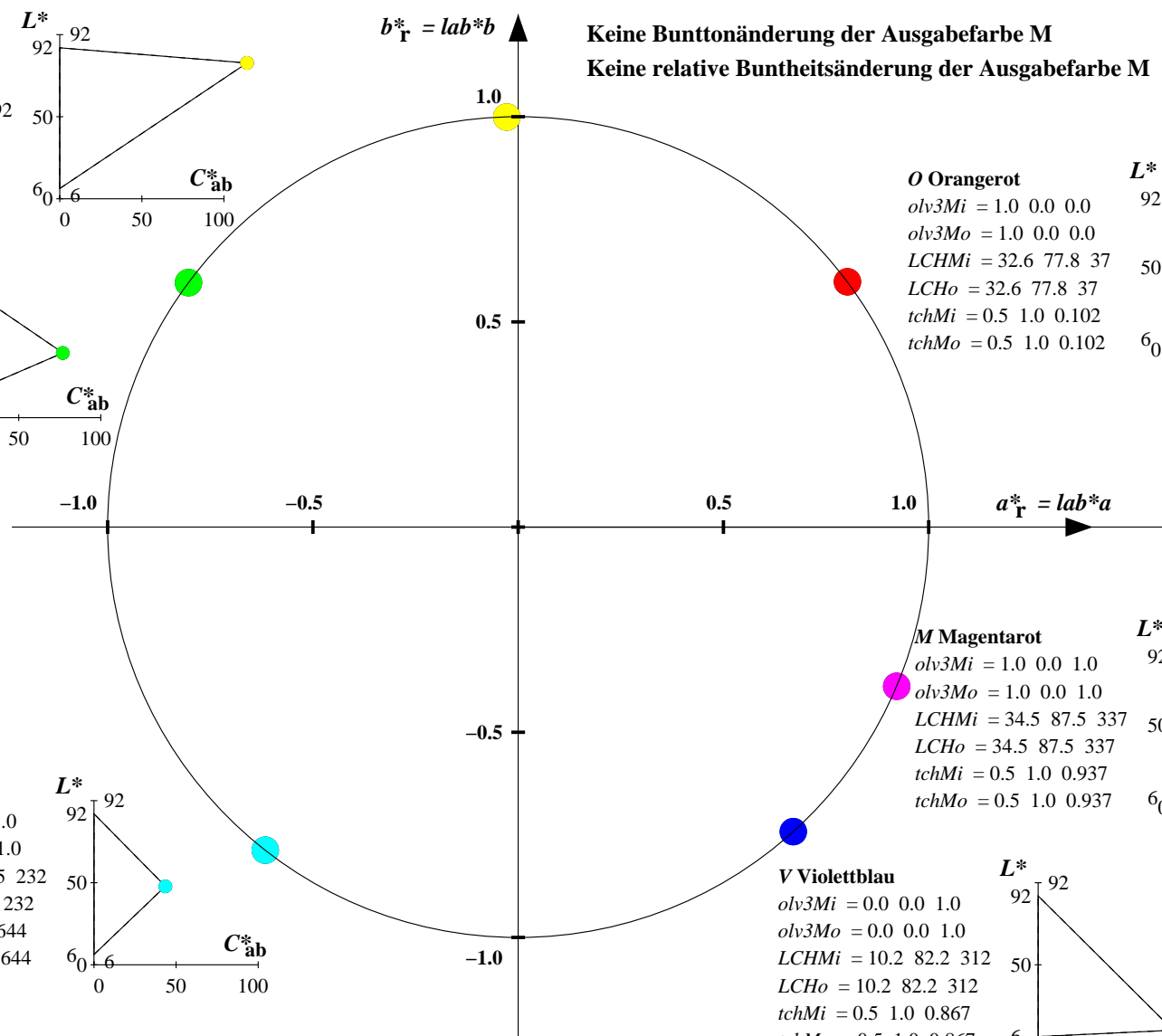
olv3Mi = 1.0 0.0 1.0
olv3Mo = 1.0 0.0 1.0
LCHMi = 34.5 87.5 337
LCHo = 34.5 87.5 337
tchMi = 0.5 1.0 0.937
tchMo = 0.5 1.0 0.937

V Violettblau

olv3Mi = 0.0 0.0 1.0
olv3Mo = 0.0 0.0 1.0
LCHMi = 10.2 82.2 312
LCHo = 10.2 82.2 312
tchMi = 0.5 1.0 0.867
tchMo = 0.5 1.0 0.867

Keine Bunttonänderung der Ausgabefarbe M

Keine relative Buntheitsänderung der Ausgabefarbe M



Relatives CIELAB-Buntheitsdiagramm: ($a_R^* = lab^*a$, $b_R^* = lab^*b$) und absolutes CIELAB Bunttondreiecks-Diagramm: (L^* , C_{ab}^*) für Ein- (---) und Ausgabe (----) FRS06: Eingabe (i) Farbmatrik-Sytem; Sechs Bunttonwinkel des Farbgerätes: (36.7, 91.6, 143.4, 232.0, 312.1, 337.2); Vier Bunttonwinkel der Elementarfarben: (27.4, 91.9, 157.6, 273.4)
FRS06: Ausgabe (o) Farbmatrik-Sytem; Sechs Bunttonwinkel des Farbgerätes: (36.7, 91.6, 143.4, 232.0, 312.1, 337.2); Vier Bunttonwinkel der Elementarfarben: (27.4, 91.9, 157.6, 273.4)

Y Gelb

olv3Mi = 1.0 1.0 0.0
olv3Mo = 0.807 1.0 0.0
LCHMi = 82.7 114.0 92
LCHo = 74.4 106.9 102
tchMi = 0.5 1.0 0.254
tchMo = 0.5 1.0 0.282

L Laubgrün

olv3Mi = 0.0 1.0 0.0
olv3Mo = 0.0 1.0 0.113
LCHMi = 39.4 76.9 143
LCHo = 40.4 73.2 153
tchMi = 0.5 1.0 0.398
tchMo = 0.5 1.0 0.426

C Cyanblau

olv3Mi = 0.0 1.0 1.0
olv3Mo = 0.0 0.875 1.0
LCHMi = 47.9 43.5 232
LCHo = 43.2 48.3 242
tchMi = 0.5 1.0 0.644
tchMo = 0.5 1.0 0.672

O Orangerot

olv3Mi = 1.0 0.0 0.0
olv3Mo = 1.0 0.182 0.0
LCHMi = 32.6 77.8 37
LCHo = 41.7 84.4 47
tchMi = 0.5 1.0 0.102
tchMo = 0.5 1.0 0.13

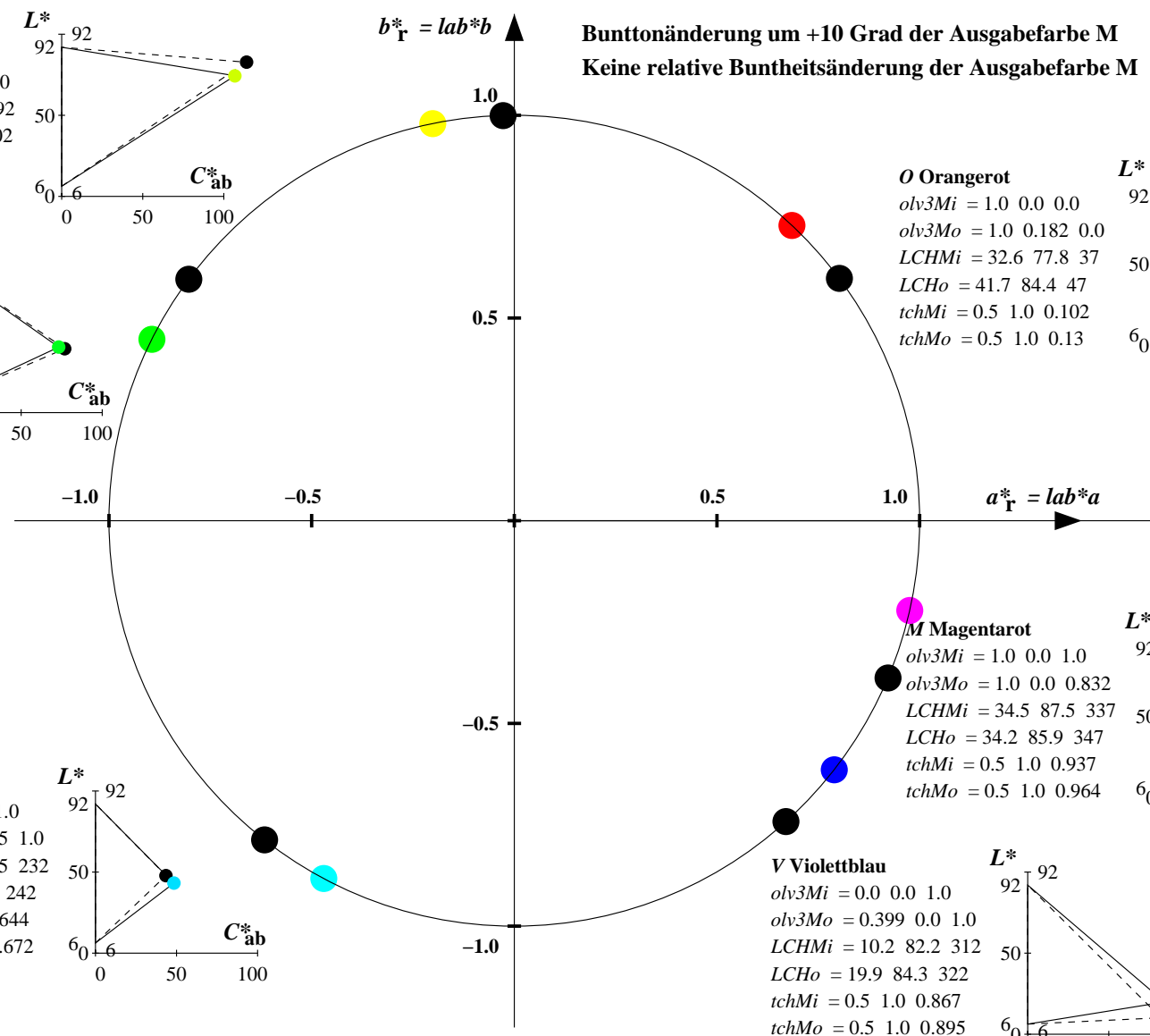
M Magentarot

olv3Mi = 1.0 0.0 1.0
olv3Mo = 1.0 0.0 0.832
LCHMi = 34.5 87.5 337
LCHo = 34.2 85.9 347
tchMi = 0.5 1.0 0.937
tchMo = 0.5 1.0 0.964

V Violettblau

olv3Mi = 0.0 0.0 1.0
olv3Mo = 0.399 0.0 1.0
LCHMi = 10.2 82.2 312
LCHo = 19.9 84.3 322
tchMi = 0.5 1.0 0.867
tchMo = 0.5 1.0 0.895

Bunttonänderung um +10 Grad der Ausgabefarbe M
Keine relative Buntheitsänderung der Ausgabefarbe M



Relatives CIELAB-Buntheitsdiagramm: ($a_R^* = lab^*a$, $b_R^* = lab^*b$) und absolutes CIELAB Bunttondreiecks-Diagramm: (L^* , C_{ab}^*) für Ein- (---) und Ausgabe (----) FRS06: Eingabe (i) Farbmatrik-Sytem; Sechs Bunttonwinkel des Farbgerätes: (36.7, 91.6, 143.4, 232.0, 312.1, 337.2); Vier Bunttonwinkel der Elementarfarben: (27.4, 91.9, 157.6, 273.4)
FRS06: Ausgabe (o) Farbmatrik-Sytem; Sechs Bunttonwinkel des Farbgerätes: (36.7, 91.6, 143.4, 232.0, 312.1, 337.2); Vier Bunttonwinkel der Elementarfarben: (27.4, 91.9, 157.6, 273.4)

Y Gelb

olv3Mi = 1.0 1.0 0.0
olv3Mo = 0.75 0.75 0.25
LCHMi = 82.7 114.0 92
LCHo = 64.4 57.0 92
tchMi = 0.5 1.0 0.254
tchMo = 0.5 0.5 0.254

L Laubgrün

olv3Mi = 0.0 1.0 0.0
olv3Mo = 0.25 0.75 0.25
LCHMi = 39.4 76.9 143
LCHo = 42.7 38.5 143
tchMi = 0.5 1.0 0.398
tchMo = 0.5 0.5 0.398

C Cyanblau

olv3Mi = 0.0 1.0 1.0
olv3Mo = 0.25 0.75 0.75
LCHMi = 47.9 43.5 232
LCHo = 46.9 21.7 232
tchMi = 0.5 1.0 0.644
tchMo = 0.5 0.5 0.644

O Orangerot

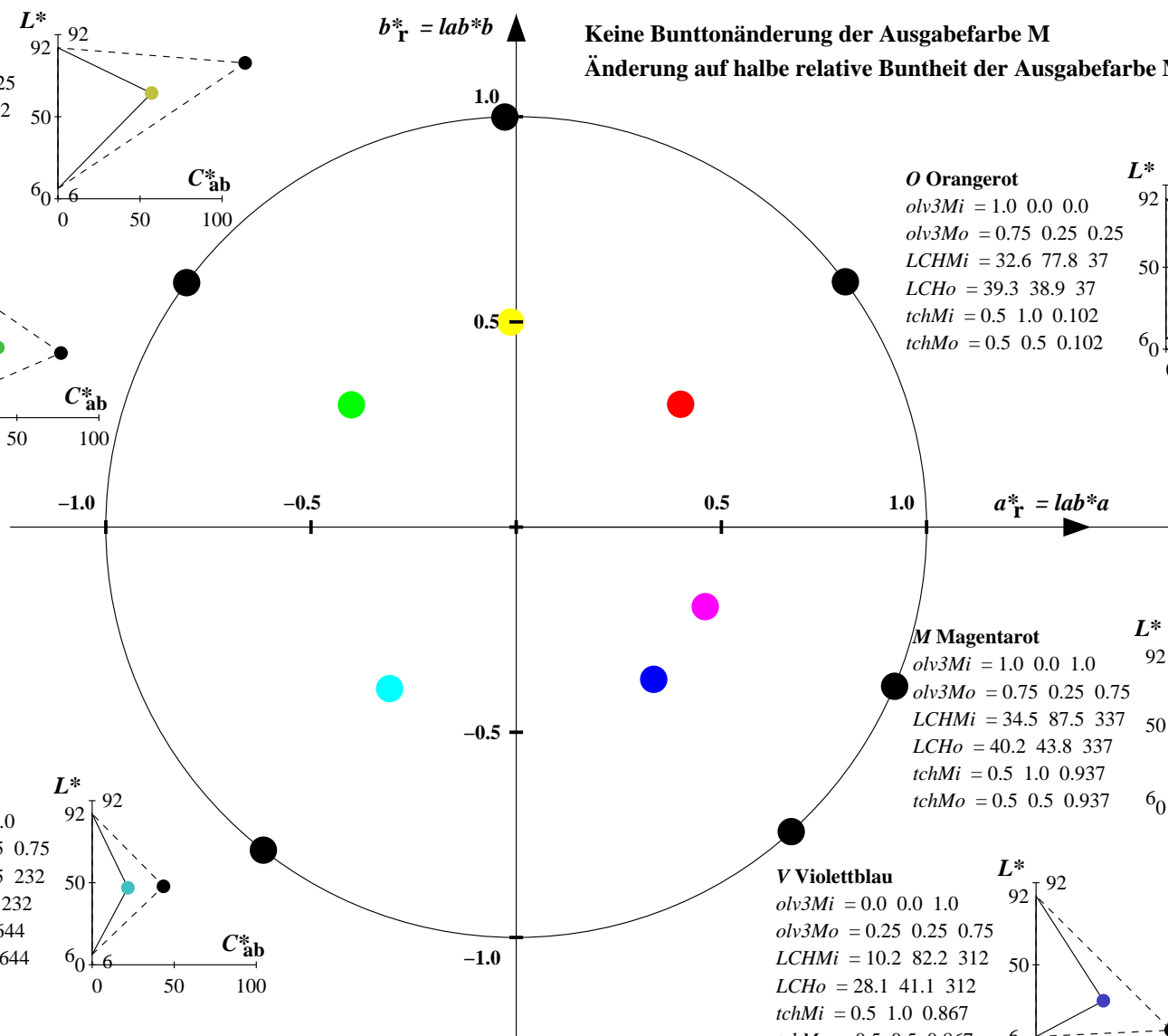
olv3Mi = 1.0 0.0 0.0
olv3Mo = 0.75 0.25 0.25
LCHMi = 32.6 77.8 37
LCHo = 39.3 38.9 37
tchMi = 0.5 1.0 0.102
tchMo = 0.5 0.5 0.102

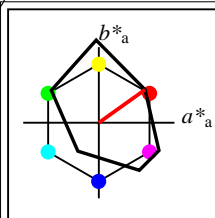
M Magentarot

olv3Mi = 1.0 0.0 1.0
olv3Mo = 0.75 0.25 0.75
LCHMi = 34.5 87.5 337
LCHo = 40.2 43.8 337
tchMi = 0.5 1.0 0.937
tchMo = 0.5 0.5 0.937

V Violettblau

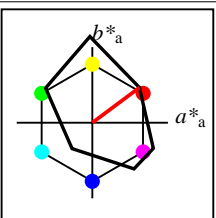
olv3Mi = 0.0 0.0 1.0
olv3Mo = 0.25 0.25 0.75
LCHMi = 10.2 82.2 312
LCHo = 28.1 41.1 312
tchMi = 0.5 1.0 0.867
tchMo = 0.5 0.5 0.867





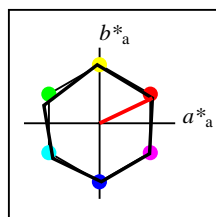
%Umfang
 $u^*_{rel} = 114$
%Regularität
 $g^*_{H,rel} = 28$
 $g^*_{C,rel} = 43$

FRS06					
	$L^*=L^*_a$	a^*_a	b^*_a	$C^*_{ab,a}$	$h^*_{ab,a}$
O _M	32.57	61.14	43.72	75.16	36
Y _M	82.73	-3.5	109.24	109.3	92
L _M	39.43	-62.86	42.8	76.06	146
C _M	47.86	-27.72	-37.61	46.74	234
V _M	10.16	53.56	-62.91	82.63	310
M _M	34.5	79.53	-36.76	87.62	335
N _M	6.25	-1.62	-1.72	2.38	227
W _M	91.97	-0.17	-5.1	5.11	268
R _{CIE}	39.92	58.74	27.99	65.07	25
J _{CIE}	81.26	-2.88	71.56	71.62	92
G _{CIE}	52.23	-42.41	13.6	44.55	162
B _{CIE}	30.57	1.41	-46.46	46.49	272



%Umfang
 $u^*_{rel} = 115$
%Regularität
 $g^*_{H,rel} = 28$
 $g^*_{C,rel} = 38$

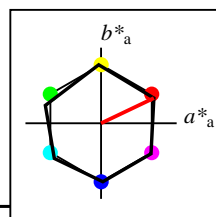
FRS06a; adaptierte CIELAB-Daten					
	$L^*=L^*_a$	a^*_a	b^*_a	$C^*_{ab,a}$	$h^*_{ab,a}$
O _{Ma}	32.57	62.32	46.49	77.75	37
Y _{Ma}	82.73	-3.16	113.99	114.03	92
L _{Ma}	39.43	-61.79	45.84	76.95	143
C _{Ma}	47.86	-26.79	-34.24	43.49	232
V _{Ma}	10.16	55.12	-61.03	82.24	312
M _{Ma}	34.5	80.68	-33.92	87.52	337
N _{Ma}	6.25	0.0	0.0	0.0	0
W _{Ma}	91.97	0.0	0.0	0.0	0
R _{CIE}	39.92	59.8	31.05	67.38	27
J _{CIE}	81.26	-2.52	76.25	76.29	92
G _{CIE}	52.23	-41.56	17.14	44.96	158
B _{CIE}	30.57	2.63	-43.77	43.86	273



%Umfang
 $u^*_{rel} = 100$
%Regularität
 $g^*_{H,rel} = 78$
 $g^*_{C,rel} = 100$

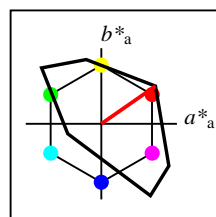
NRS18a; adaptierte CIELAB-Daten					
	$L^*=L^*_a$	a^*_a	b^*_a	$C^*_{ab,a}$	$h^*_{ab,a}$
O _{Ma}	56.71	69.87	33.29	77.4	25
Y _{Ma}	56.71	-3.1	77.34	77.4	92
L _{Ma}	56.71	-73.68	23.63	77.39	162
C _{Ma}	56.71	-61.81	-46.54	77.39	217
V _{Ma}	56.71	2.35	-77.34	77.39	272
M _{Ma}	56.71	66.07	-40.3	77.4	329
N _{Ma}	18.01	0.0	0.0	0.0	0
W _{Ma}	95.41	0.0	0.0	0.0	0
R _{CIE}	39.92	58.74	27.99	65.07	25
J _{CIE}	81.26	-2.88	71.56	71.62	92
G _{CIE}	52.23	-42.41	13.6	44.55	162
B _{CIE}	30.57	1.41	-46.46	46.49	272

Workflow-Wahlen
für Farbmuster:
1. keine Farbänderung
2. Buntton-Änderung
3. Buntheits-Änderung



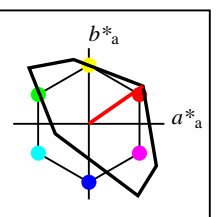
%Umfang
 $u^*_{rel} = 100$
%Regularität
 $g^*_{H,rel} = 78$
 $g^*_{C,rel} = 100$

NRS18a; adaptierte CIELAB-Daten					
	$L^*=L^*_a$	a^*_a	b^*_a	$C^*_{ab,a}$	$h^*_{ab,a}$
O _{Ma}	56.71	69.87	33.29	77.4	25
Y _{Ma}	56.71	-3.1	77.34	77.4	92
L _{Ma}	56.71	-73.68	23.63	77.39	162
C _{Ma}	56.71	-61.81	-46.54	77.39	217
V _{Ma}	56.71	2.35	-77.34	77.39	272
M _{Ma}	56.71	66.07	-40.3	77.4	329
N _{Ma}	18.01	0.0	0.0	0.0	0
W _{Ma}	95.41	0.0	0.0	0.0	0
R _{CIE}	39.92	58.74	27.99	65.07	25
J _{CIE}	81.26	-2.88	71.56	71.62	92
G _{CIE}	52.23	-42.41	13.6	44.55	162
B _{CIE}	30.57	1.41	-46.46	46.49	272



%Umfang
 $u^*_{rel} = 118$
%Regularität
 $g^*_{H,rel} = 22$
 $g^*_{C,rel} = 40$

TLS18a; adaptierte CIELAB-Daten					
	$L^*=L^*_a$	a^*_a	b^*_a	$C^*_{ab,a}$	$h^*_{ab,a}$
O _{Ma}	52.76	71.63	49.88	87.29	35
Y _{Ma}	92.74	-20.02	84.97	87.3	103
L _{Ma}	84.0	-78.98	73.94	108.2	137
C _{Ma}	87.14	-44.41	-13.11	46.32	196
V _{Ma}	35.47	64.92	-95.06	115.12	304
M _{Ma}	59.01	89.33	-55.67	105.26	328
N _{Ma}	18.01	0.0	0.0	0.0	0
W _{Ma}	95.41	0.0	0.0	0.0	0
R _{CIE}	39.92	58.74	27.99	65.07	25
J _{CIE}	81.26	-2.88	71.56	71.62	92
G _{CIE}	52.23	-42.41	13.6	44.55	162
B _{CIE}	30.57	1.41	-46.46	46.49	272



%Umfang
 $u^*_{rel} = 118$
%Regularität
 $g^*_{H,rel} = 22$
 $g^*_{C,rel} = 40$

TLS18					
	$L^*=L^*_a$	a^*_a	b^*_a	$C^*_{ab,a}$	$h^*_{ab,a}$
O _M	52.76	71.63	49.88	87.29	35
Y _M	92.74	-20.02	84.97	87.3	103
L _M	84.0	-78.98	73.94	108.2	137
C _M	87.14	-44.41	-13.11	46.32	196
V _M	35.47	64.92	-95.06	115.12	304
M _M	59.01	89.33	-55.67	105.26	328
N _M	18.01	0.0	0.0	0.0	0
W _M	95.41	0.0	0.0	0.0	0
R _{CIE}	39.92	58.74	27.99	65.07	25
J _{CIE}	81.26	-2.88	71.56	71.62	92
G _{CIE}	52.23	-42.41	13.6	44.55	162
B _{CIE}	30.57	1.41	-46.46	46.49	272

Relatives CIELAB-Buntheitsdiagramm: ($a_R^* = lab^*a$, $b_R^* = lab^*b$) und absolutes CIELAB Bunttondreiecks-Diagramm: (L^* , C_{ab}^*) für Ein- (---) und Ausgabe (----) FRS06: Eingabe (i) Farbmatrik-Sytem; Sechs Bunttonwinkel des Farbgerätes: (36.7, 91.6, 143.4, 232.0, 312.1, 337.2); Vier Bunttonwinkel der Elementarfarben: (27.4, 91.9, 157.6, 273.4)
TLS18: Ausgabe (o) Farbmatrik-Sytem; Sechs Bunttonwinkel des Farbgerätes: (34.9, 103.3, 136.9, 196.5, 304.3, 328.1); Vier Bunttonwinkel der Elementarfarben: (25.5, 92.3, 162.2, 271.7)

Y Gelb

olv3Mi = 1.0 1.0 0.0
olv3Mo = 1.0 0.829 0.0
LCHMi = 82.7 114.0 92
LCHo = 85.9 87.3 92
tchMi = 0.5 1.0 0.254
tchMo = 0.5 1.0 0.254

L Laubgrün

olv3Mi = 0.0 1.0 0.0
olv3Mo = 0.0 1.0 0.11
LCHMi = 39.4 76.9 143
LCHo = 84.3 101.4 143
tchMi = 0.5 1.0 0.398
tchMo = 0.5 1.0 0.398

C Cyanblau

olv3Mi = 0.0 1.0 1.0
olv3Mo = 0.0 0.671 1.0
LCHMi = 47.9 43.5 232
LCHo = 70.1 69.0 232
tchMi = 0.5 1.0 0.644
tchMo = 0.5 1.0 0.644

O Orangerot

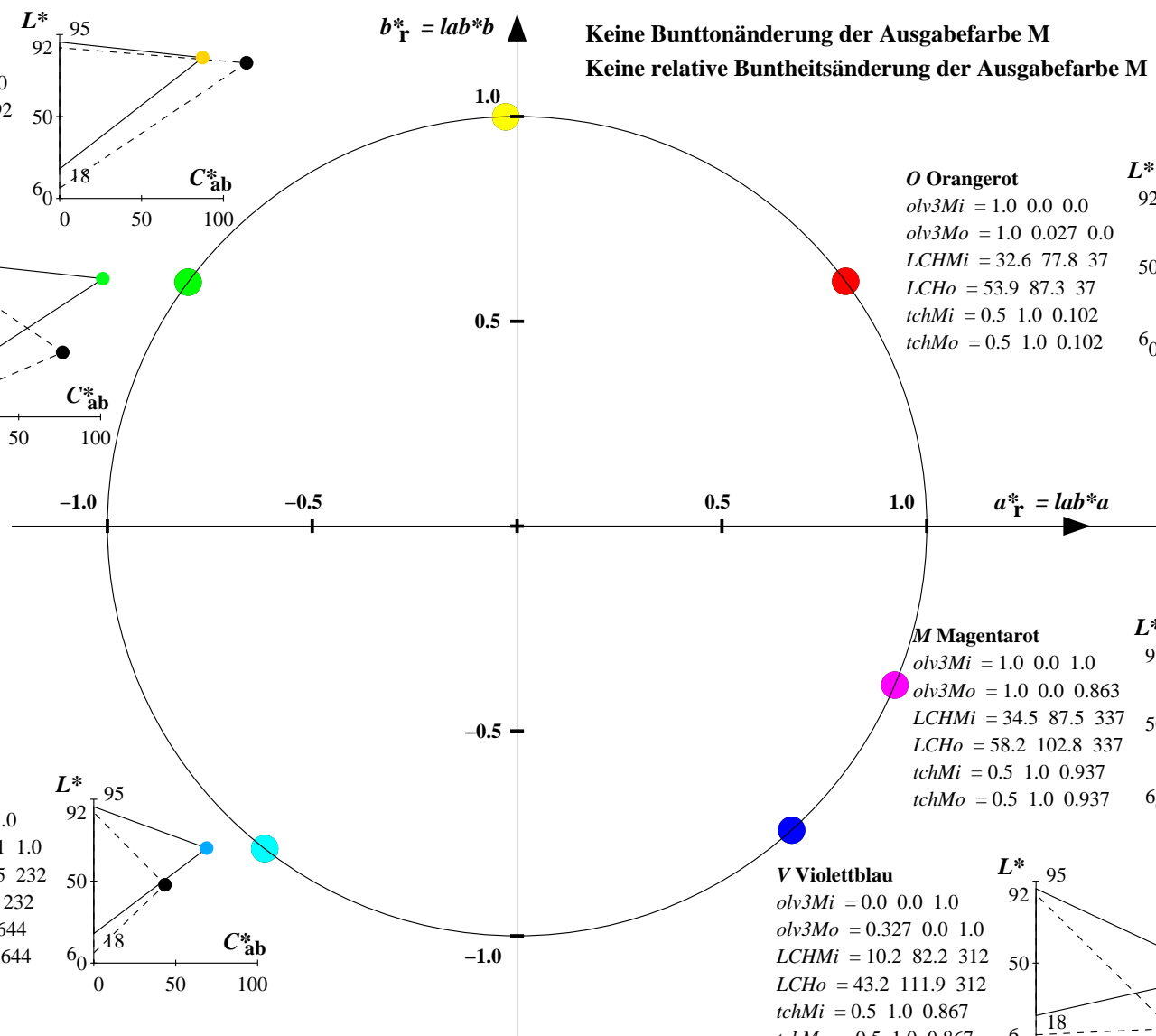
olv3Mi = 1.0 0.0 0.0
olv3Mo = 1.0 0.027 0.0
LCHMi = 32.6 77.8 37
LCHo = 53.9 87.3 37
tchMi = 0.5 1.0 0.102
tchMo = 0.5 1.0 0.102

M Magentarot

olv3Mi = 1.0 0.0 1.0
olv3Mo = 1.0 0.0 0.863
LCHMi = 34.5 87.5 337
LCHo = 58.2 102.8 337
tchMi = 0.5 1.0 0.937
tchMo = 0.5 1.0 0.937

V Violettblau

olv3Mi = 0.0 0.0 1.0
olv3Mo = 0.327 0.0 1.0
LCHMi = 10.2 82.2 312
LCHo = 43.2 111.9 312
tchMi = 0.5 1.0 0.867
tchMo = 0.5 1.0 0.867



Relatives CIELAB-Buntheitsdiagramm: ($a_R^* = lab^*a$, $b_R^* = lab^*b$) und absolutes CIELAB Bunttondreiecks-Diagramm: (L^* , C_{ab}^*) für Ein- (---) und Ausgabe (----) FRS06: Eingabe (i) Farbmatrik-Sytem; Sechs Bunttonwinkel des Farbgerätes: (36.7, 91.6, 143.4, 232.0, 312.1, 337.2); Vier Bunttonwinkel der Elementarfarben: (27.4, 91.9, 157.6, 273.4)
TLS18: Ausgabe (o) Farbmatrik-Sytem; Sechs Bunttonwinkel des Farbgerätes: (34.9, 103.3, 136.9, 196.5, 304.3, 328.1); Vier Bunttonwinkel der Elementarfarben: (25.5, 92.3, 162.2, 271.7)

Y Gelb

olv3Mi = 1.0 1.0 0.0
olv3Mo = 1.0 0.976 0.0
LCHMi = 82.7 114.0 92
LCHo = 91.8 87.3 102
tchMi = 0.5 1.0 0.254
tchMo = 0.5 1.0 0.282

L Laubgrün

olv3Mi = 0.0 1.0 0.0
olv3Mo = 0.0 1.0 0.278
LCHMi = 39.4 76.9 143
LCHo = 84.9 91.0 153
tchMi = 0.5 1.0 0.398
tchMo = 0.5 1.0 0.426

C Cyanblau

olv3Mi = 0.0 1.0 1.0
olv3Mo = 0.0 0.578 1.0
LCHMi = 47.9 43.5 232
LCHo = 65.3 75.3 242
tchMi = 0.5 1.0 0.644
tchMo = 0.5 1.0 0.672

O Orangerot

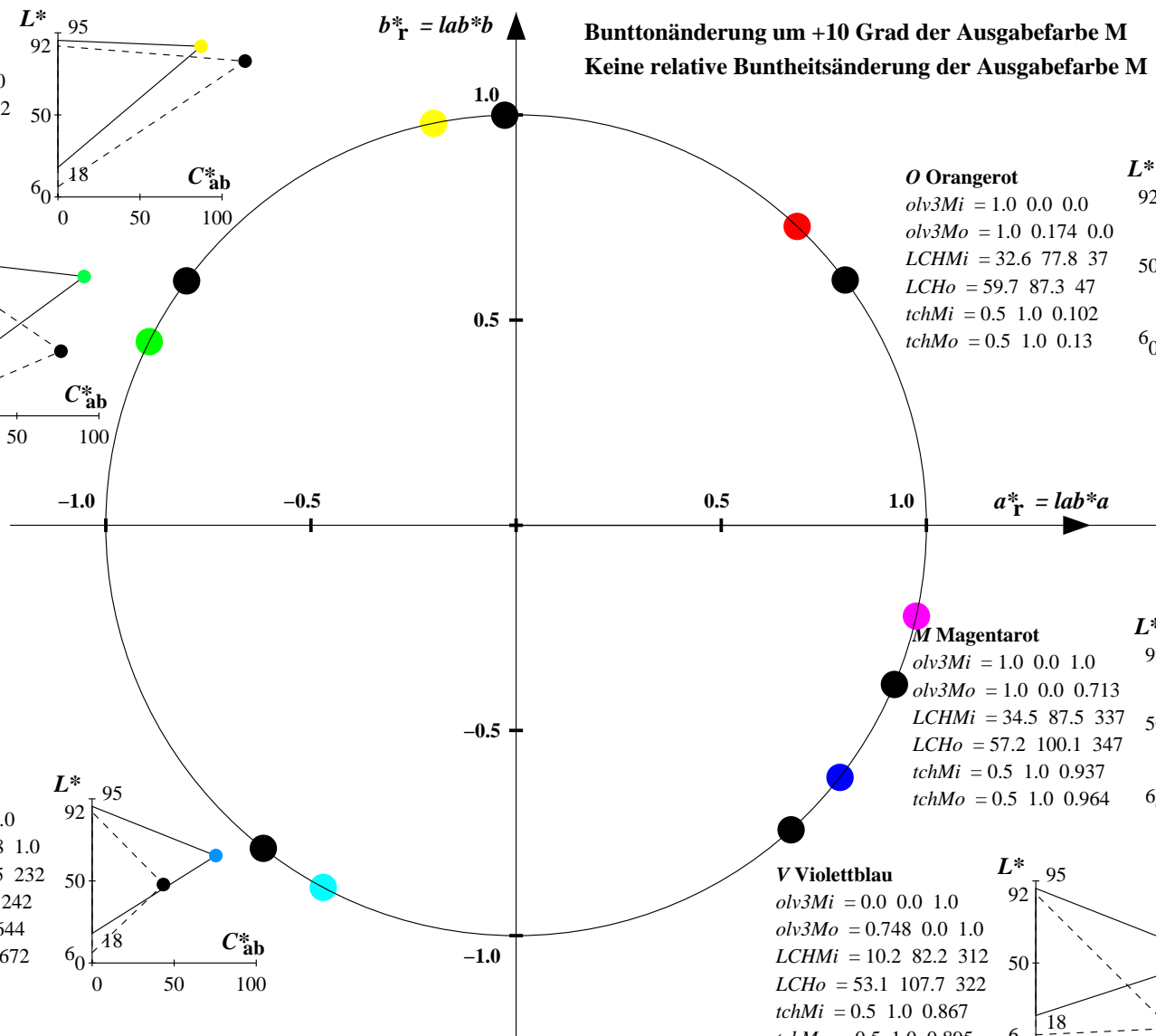
olv3Mi = 1.0 0.0 0.0
olv3Mo = 1.0 0.174 0.0
LCHMi = 32.6 77.8 37
LCHo = 59.7 87.3 47
tchMi = 0.5 1.0 0.102
tchMo = 0.5 1.0 0.13

M Magentarot

olv3Mi = 1.0 0.0 1.0
olv3Mo = 1.0 0.0 0.713
LCHMi = 34.5 87.5 337
LCHo = 57.2 100.1 347
tchMi = 0.5 1.0 0.937
tchMo = 0.5 1.0 0.964

V Violettblau

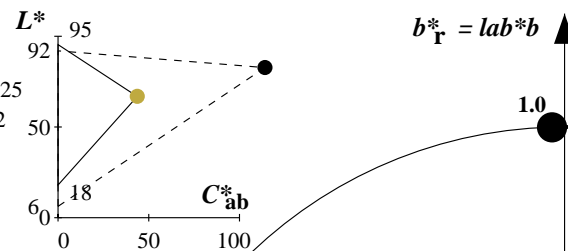
olv3Mi = 0.0 0.0 1.0
olv3Mo = 0.748 0.0 1.0
LCHMi = 10.2 82.2 312
LCHo = 53.1 107.7 322
tchMi = 0.5 1.0 0.867
tchMo = 0.5 1.0 0.895



Relatives CIELAB-Buntheitsdiagramm: ($a_R^* = lab^*a$, $b_R^* = lab^*b$) und **absolutes CIELAB Bunttondreiecks-Diagramm:** (L^* , C_{ab}^*) für Ein- (---) und Ausgabe (----) FRS06: Eingabe (i) Farbmatrik-Sytem; Sechs Bunttonwinkel des Farbgerätes: (36.7, 91.6, 143.4, 232.0, 312.1, 337.2); Vier Bunttonwinkel der Elementarfarben: (27.4, 91.9, 157.6, 273.4)
TLS18: Ausgabe (o) Farbmatrik-Sytem; Sechs Bunttonwinkel des Farbgerätes: (34.9, 103.3, 136.9, 196.5, 304.3, 328.1); Vier Bunttonwinkel der Elementarfarben: (25.5, 92.3, 162.2, 271.7)

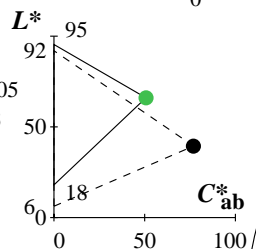
Y Gelb

$olv3Mi = 1.0 \ 1.0 \ 0.0$
 $olv3Mo = 0.75 \ 0.665 \ 0.25$
 $LCHMi = 82.7 \ 114.0 \ 92$
 $LCHo = 66.8 \ 43.6 \ 92$
 $tchMi = 0.5 \ 1.0 \ 0.254$
 $tchMo = 0.5 \ 0.5 \ 0.254$



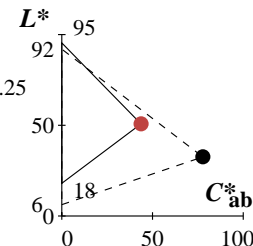
L Laubgrün

$olv3Mi = 0.0 \ 1.0 \ 0.0$
 $olv3Mo = 0.25 \ 0.75 \ 0.305$
 $LCHMi = 39.4 \ 76.9 \ 143$
 $LCHo = 66.0 \ 50.7 \ 143$
 $tchMi = 0.5 \ 1.0 \ 0.398$
 $tchMo = 0.5 \ 0.5 \ 0.398$



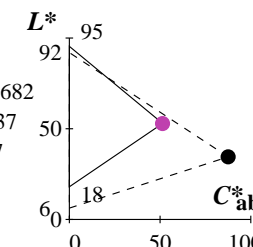
O Orangerot

$olv3Mi = 1.0 \ 0.0 \ 0.0$
 $olv3Mo = 0.75 \ 0.264 \ 0.25$
 $LCHMi = 32.6 \ 77.8 \ 37$
 $LCHo = 50.8 \ 43.6 \ 37$
 $tchMi = 0.5 \ 1.0 \ 0.102$
 $tchMo = 0.5 \ 0.5 \ 0.102$



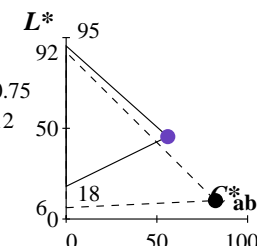
M Magentarot

$olv3Mi = 1.0 \ 0.0 \ 1.0$
 $olv3Mo = 0.75 \ 0.25 \ 0.682$
 $LCHMi = 34.5 \ 87.5 \ 337$
 $LCHo = 52.9 \ 51.4 \ 337$
 $tchMi = 0.5 \ 1.0 \ 0.937$
 $tchMo = 0.5 \ 0.5 \ 0.937$



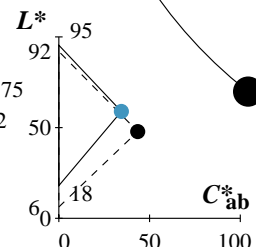
V Violettblau

$olv3Mi = 0.0 \ 0.0 \ 1.0$
 $olv3Mo = 0.413 \ 0.25 \ 0.75$
 $LCHMi = 10.2 \ 82.2 \ 312$
 $LCHo = 45.4 \ 55.9 \ 312$
 $tchMi = 0.5 \ 1.0 \ 0.867$
 $tchMo = 0.5 \ 0.5 \ 0.867$



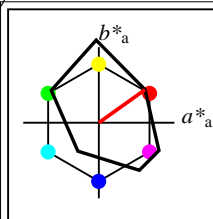
C Cyanblau

$olv3Mi = 0.0 \ 1.0 \ 1.0$
 $olv3Mo = 0.25 \ 0.585 \ 0.75$
 $LCHMi = 47.9 \ 43.5 \ 232$
 $LCHo = 58.9 \ 34.5 \ 232$
 $tchMi = 0.5 \ 1.0 \ 0.644$
 $tchMo = 0.5 \ 0.5 \ 0.644$



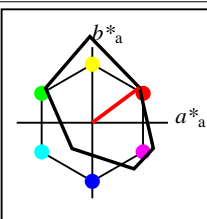
Keine Bunttonänderung der Ausgabefarbe M

Änderung auf halbe relative Buntheit der Ausgabefarbe M



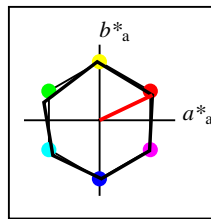
%Umfang
 $u^*_{rel} = 114$
%Regularität
 $g^*_{H,rel} = 28$
 $g^*_{C,rel} = 43$

FRS06	$L^*=L^*_a$	a^*_a	b^*_a	$C^*_{ab,a}$	$h^*_{ab,a}$
O _M	32.57	61.14	43.72	75.16	36
Y _M	82.73	-3.5	109.24	109.3	92
L _M	39.43	-62.86	42.8	76.06	146
C _M	47.86	-27.72	-37.61	46.74	234
V _M	10.16	53.56	-62.91	82.63	310
M _M	34.5	79.53	-36.76	87.62	335
N _M	6.25	-1.62	-1.72	2.38	227
W _M	91.97	-0.17	-5.1	5.11	268
R _{CIE}	39.92	58.74	27.99	65.07	25
J _{CIE}	81.26	-2.88	71.56	71.62	92
G _{CIE}	52.23	-42.41	13.6	44.55	162
B _{CIE}	30.57	1.41	-46.46	46.49	272



%Umfang
 $u^*_{rel} = 115$
%Regularität
 $g^*_{H,rel} = 28$
 $g^*_{C,rel} = 38$

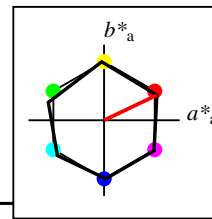
FRS06a; adaptierte CIELAB-Daten	$L^*=L^*_a$	a^*_a	b^*_a	$C^*_{ab,a}$	$h^*_{ab,a}$
O _{Ma}	32.57	62.32	46.49	77.75	37
Y _{Ma}	82.73	-3.16	113.99	114.03	92
L _{Ma}	39.43	-61.79	45.84	76.95	143
C _{Ma}	47.86	-26.79	-34.24	43.49	232
V _{Ma}	10.16	55.12	-61.03	82.24	312
M _{Ma}	34.5	80.68	-33.92	87.52	337
N _{Ma}	6.25	0.0	0.0	0.0	0
W _{Ma}	91.97	0.0	0.0	0.0	0
R _{CIE}	39.92	59.8	31.05	67.38	27
J _{CIE}	81.26	-2.52	76.25	76.29	92
G _{CIE}	52.23	-41.56	17.14	44.96	158
B _{CIE}	30.57	2.63	-43.77	43.86	273



%Umfang
 $u^*_{rel} = 100$
%Regularität
 $g^*_{H,rel} = 78$
 $g^*_{C,rel} = 100$

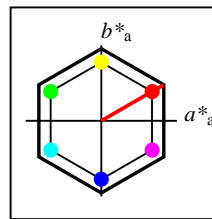
NRS18a; adaptierte CIELAB-Daten	$L^*=L^*_a$	a^*_a	b^*_a	$C^*_{ab,a}$	$h^*_{ab,a}$
O _{Ma}	56.71	69.87	33.29	77.4	25
Y _{Ma}	56.71	-3.1	77.34	77.4	92
L _{Ma}	56.71	-73.68	23.63	77.39	162
C _{Ma}	56.71	-61.81	-46.54	77.39	217
V _{Ma}	56.71	2.35	-77.34	77.39	272
M _{Ma}	56.71	66.07	-40.3	77.4	329
N _{Ma}	18.01	0.0	0.0	0.0	0
W _{Ma}	95.41	0.0	0.0	0.0	0
R _{CIE}	39.92	58.74	27.99	65.07	25
J _{CIE}	81.26	-2.88	71.56	71.62	92
G _{CIE}	52.23	-42.41	13.6	44.55	162
B _{CIE}	30.57	1.41	-46.46	46.49	272

Workflow-Wahlen
für Farbmuster:
1. keine Farbänderung
2. Buntton-Änderung
3. Buntheits-Änderung



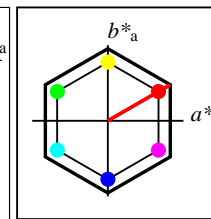
%Umfang
 $u^*_{rel} = 100$
%Regularität
 $g^*_{H,rel} = 78$
 $g^*_{C,rel} = 100$

NRS18a; adaptierte CIELAB-Daten	$L^*=L^*_a$	a^*_a	b^*_a	$C^*_{ab,a}$	$h^*_{ab,a}$
O _{Ma}	56.71	69.87	33.29	77.4	25
Y _{Ma}	56.71	-3.1	77.34	77.4	92
L _{Ma}	56.71	-73.68	23.63	77.39	162
C _{Ma}	56.71	-61.81	-46.54	77.39	217
V _{Ma}	56.71	2.35	-77.34	77.39	272
M _{Ma}	56.71	66.07	-40.3	77.4	329
N _{Ma}	18.01	0.0	0.0	0.0	0
W _{Ma}	95.41	0.0	0.0	0.0	0
R _{CIE}	39.92	58.74	27.99	65.07	25
J _{CIE}	81.26	-2.88	71.56	71.62	92
G _{CIE}	52.23	-42.41	13.6	44.55	162
B _{CIE}	30.57	1.41	-46.46	46.49	272



%Umfang
 $u^*_{rel} = 152$
%Regularität
 $g^*_{H,rel} = 100$
 $g^*_{C,rel} = 100$

NLS00a; adaptierte CIELAB-Daten	$L^*=L^*_a$	a^*_a	b^*_a	$C^*_{ab,a}$	$h^*_{ab,a}$
O _{Ma}	31.81	82.62	47.7	95.4	30
Y _{Ma}	63.61	0.0	95.4	95.4	90
L _{Ma}	31.81	-82.61	47.7	95.4	150
C _{Ma}	63.61	-82.61	-47.69	95.4	210
V _{Ma}	31.81	0.0	-95.39	95.4	270
M _{Ma}	63.61	82.62	-47.69	95.4	330
N _{Ma}	0.01	0.0	0.0	0.0	0
W _{Ma}	95.41	0.0	0.0	0.0	0
R _{CIE}	39.92	58.74	27.99	65.07	25
J _{CIE}	81.26	-2.88	71.56	71.62	92
G _{CIE}	52.23	-42.41	13.6	44.55	162
B _{CIE}	30.57	1.41	-46.46	46.49	272



%Umfang
 $u^*_{rel} = 152$
%Regularität
 $g^*_{H,rel} = 100$
 $g^*_{C,rel} = 100$

NLS00	$L^*=L^*_a$	a^*_a	b^*_a	$C^*_{ab,a}$	$h^*_{ab,a}$
O _M	31.81	82.62	47.7	95.4	30
Y _M	63.61	0.0	95.4	95.4	90
L _M	31.81	-82.61	47.7	95.4	150
C _M	63.61	-82.61	-47.69	95.4	210
V _M	31.81	0.0	-95.39	95.4	270
M _M	63.61	82.62	-47.69	95.4	330
N _M	0.01	0.0	0.0	0.0	0
W _M	95.41	0.0	0.0	0.0	0
R _{CIE}	39.92	58.74	27.99	65.07	25
J _{CIE}	81.26	-2.88	71.56	71.62	92
G _{CIE}	52.23	-42.41	13.6	44.55	162
B _{CIE}	30.57	1.41	-46.46	46.49	272

Relatives CIELAB-Buntheitsdiagramm: ($a_R^* = lab^*a$, $b_R^* = lab^*b$) und absolutes CIELAB Bunttondreiecks-Diagramm: (L^* , C_{ab}^*) für Ein- (---) und Ausgabe (----) FRS06: Eingabe (i) Farbmatrik-Sytem; Sechs Bunttonwinkel des Farbgerätes: (36.7, 91.6, 143.4, 232.0, 312.1, 337.2); Vier Bunttonwinkel der Elementarfarben: (27.4, 91.9, 157.6, 273.4) NLS00: Ausgabe (o) Farbmatrik-Sytem; Sechs Bunttonwinkel des Farbgerätes: (30.0, 90.0, 150.0, 210.0, 270.0, 330.0); Vier Bunttonwinkel der Elementarfarben: (25.5, 92.3, 162.2, 271.7)

Y Gelb

olv3Mi = 1.0 1.0 0.0
olv3Mo = 0.973 1.0 0.0
LCHMi = 82.7 114.0 92
LCHo = 62.8 95.4 92
tchMi = 0.5 1.0 0.254
tchMo = 0.5 1.0 0.254

L Laubgrün

olv3Mi = 0.0 1.0 0.0
olv3Mo = 0.109 1.0 0.0
LCHMi = 39.4 76.9 143
LCHo = 35.3 95.4 143
tchMi = 0.5 1.0 0.398
tchMo = 0.5 1.0 0.398

C Cyanblau

olv3Mi = 0.0 1.0 1.0
olv3Mo = 0.0 0.634 1.0
LCHMi = 47.9 43.5 232
LCHo = 52.0 95.4 232
tchMi = 0.5 1.0 0.644
tchMo = 0.5 1.0 0.644

V Violettblau

olv3Mi = 0.0 0.0 1.0
olv3Mo = 0.701 0.0 1.0
LCHMi = 10.2 82.2 312
LCHo = 54.1 95.4 312
tchMi = 0.5 1.0 0.867
tchMo = 0.5 1.0 0.867

M Magentarot

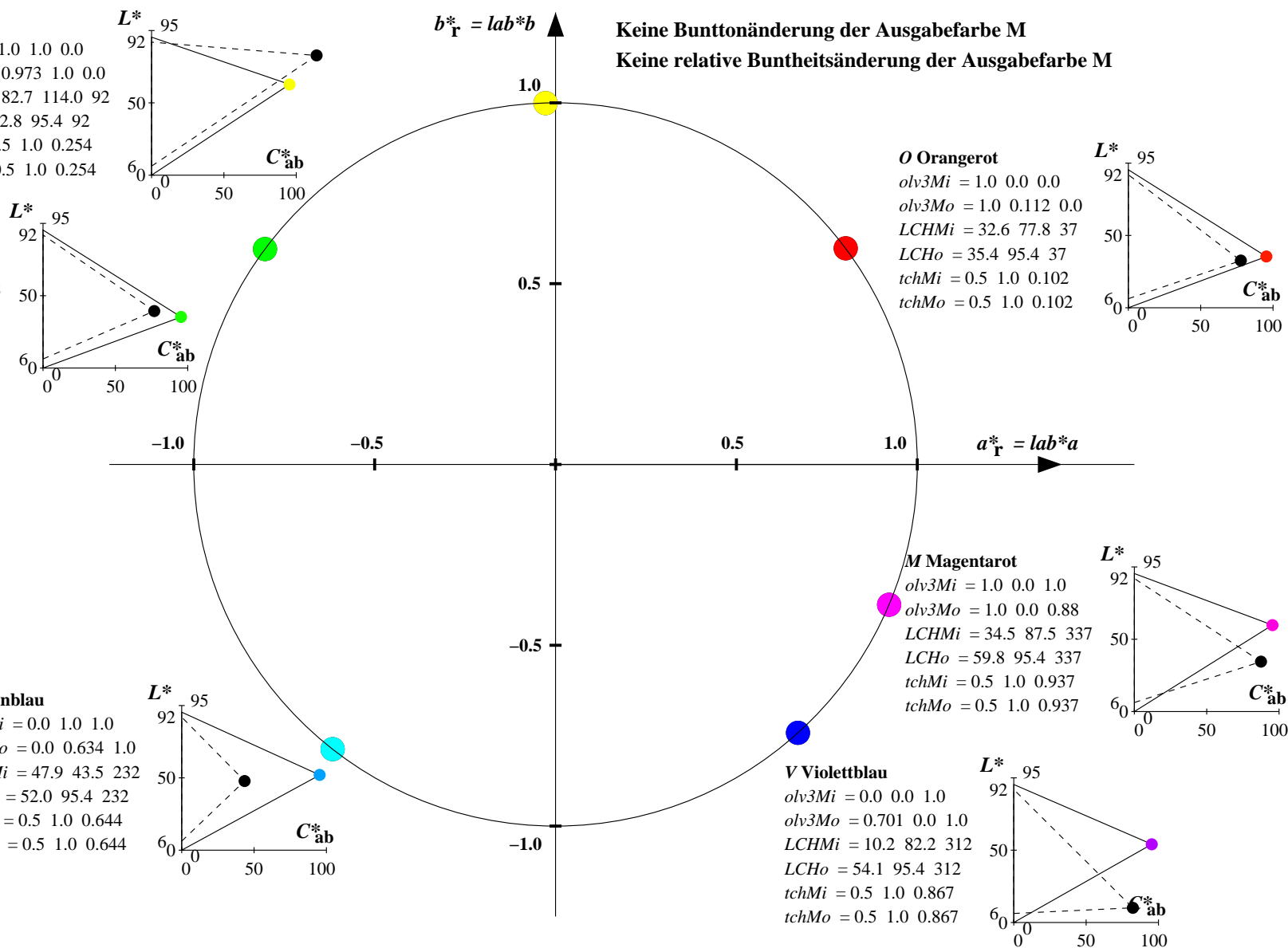
olv3Mi = 1.0 0.0 1.0
olv3Mo = 1.0 0.0 0.88
LCHMi = 34.5 87.5 337
LCHo = 59.8 95.4 337
tchMi = 0.5 1.0 0.937
tchMo = 0.5 1.0 0.937

O Orangerot

olv3Mi = 1.0 0.0 0.0
olv3Mo = 1.0 0.112 0.0
LCHMi = 32.6 77.8 37
LCHo = 35.4 95.4 37
tchMi = 0.5 1.0 0.102
tchMo = 0.5 1.0 0.102

Keine Bunttonänderung der Ausgabefarbe M

Keine relative Buntheitsänderung der Ausgabefarbe M



Relatives CIELAB-Buntheitsdiagramm: ($a_R^* = lab^*a$, $b_R^* = lab^*b$) und absolutes CIELAB Bunttondreiecks-Diagramm: (L^* , C_{ab}^*) für Ein- (---) und Ausgabe (----) FRS06: Eingabe (i) Farbmatrik-Sytem; Sechs Bunttonwinkel des Farbgerätes: (36.7, 91.6, 143.4, 232.0, 312.1, 337.2); Vier Bunttonwinkel der Elementarfarben: (27.4, 91.9, 157.6, 273.4) NLS00: Ausgabe (o) Farbmatrik-Sytem; Sechs Bunttonwinkel des Farbgerätes: (30.0, 90.0, 150.0, 210.0, 270.0, 330.0); Vier Bunttonwinkel der Elementarfarben: (25.5, 92.3, 162.2, 271.7)

Y Gelb

olv3Mi = 1.0 1.0 0.0
olv3Mo = 0.807 1.0 0.0
LCHMi = 82.7 114.0 92
LCHo = 57.5 95.4 102
tchMi = 0.5 1.0 0.254
tchMo = 0.5 1.0 0.282

L Laubgrün

olv3Mi = 0.0 1.0 0.0
olv3Mo = 0.0 1.0 0.057
LCHMi = 39.4 76.9 143
LCHo = 33.6 95.4 153
tchMi = 0.5 1.0 0.398
tchMo = 0.5 1.0 0.426

C Cyanblau

olv3Mi = 0.0 1.0 1.0
olv3Mo = 0.0 0.467 1.0
LCHMi = 47.9 43.5 232
LCHo = 46.7 95.4 242
tchMi = 0.5 1.0 0.644
tchMo = 0.5 1.0 0.672

V Violettblau

olv3Mi = 0.0 0.0 1.0
olv3Mo = 0.868 0.0 1.0
LCHMi = 10.2 82.2 312
LCHo = 59.4 95.4 322
tchMi = 0.5 1.0 0.867
tchMo = 0.5 1.0 0.895

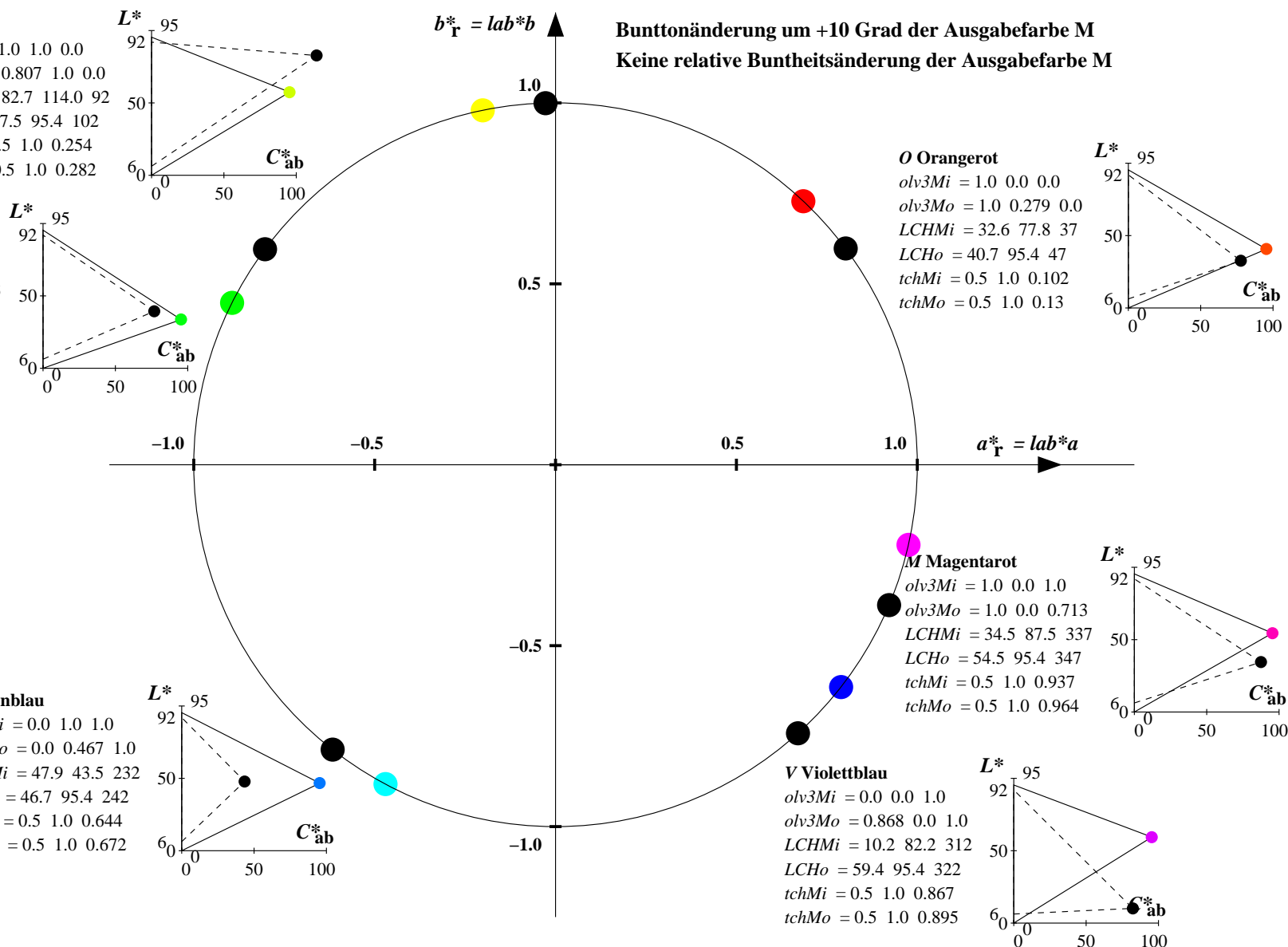
M Magentarot

olv3Mi = 1.0 0.0 1.0
olv3Mo = 1.0 0.0 0.713
LCHMi = 34.5 87.5 337
LCHo = 54.5 95.4 347
tchMi = 0.5 1.0 0.937
tchMo = 0.5 1.0 0.964

O Orangerot

olv3Mi = 1.0 0.0 0.0
olv3Mo = 1.0 0.279 0.0
LCHMi = 32.6 77.8 37
LCHo = 40.7 95.4 47
tchMi = 0.5 1.0 0.102
tchMo = 0.5 1.0 0.13

Bunttonänderung um +10 Grad der Ausgabefarbe M
Keine relative Buntheitsänderung der Ausgabefarbe M



Relatives CIELAB-Buntheitsdiagramm: ($a_R^* = lab^*a$, $b_R^* = lab^*b$) und absolutes CIELAB Bunttondreiecks-Diagramm: (L^* , C_{ab}^*) für Ein- (---) und Ausgabe (----) FRS06: Eingabe (i) Farbmatrik-Sytem; Sechs Bunttonwinkel des Farbgerätes: (36.7, 91.6, 143.4, 232.0, 312.1, 337.2); Vier Bunttonwinkel der Elementarfarben: (27.4, 91.9, 157.6, 273.4) NLS00: Ausgabe (o) Farbmatrik-Sytem; Sechs Bunttonwinkel des Farbgerätes: (30.0, 90.0, 150.0, 210.0, 270.0, 330.0); Vier Bunttonwinkel der Elementarfarben: (25.5, 92.3, 162.2, 271.7)

Y Gelb

olv3Mi = 1.0 1.0 0.0
olv3Mo = 0.737 0.75 0.25
LCHMi = 82.7 114.0 92
LCHo = 55.2 47.7 92
tchMi = 0.5 1.0 0.254
tchMo = 0.5 0.5 0.254

L Laubgrün

olv3Mi = 0.0 1.0 0.0
olv3Mo = 0.305 0.75 0.25
LCHMi = 39.4 76.9 143
LCHo = 41.5 47.7 143
tchMi = 0.5 1.0 0.398
tchMo = 0.5 0.5 0.398

C Cyanblau

olv3Mi = 0.0 1.0 1.0
olv3Mo = 0.25 0.567 0.75
LCHMi = 47.9 43.5 232
LCHo = 49.8 47.7 232
tchMi = 0.5 1.0 0.644
tchMo = 0.5 0.5 0.644

V Violettblau

olv3Mi = 0.0 0.0 1.0
olv3Mo = 0.601 0.25 0.75
LCHMi = 10.2 82.2 312
LCHo = 50.9 47.7 312
tchMi = 0.5 1.0 0.867
tchMo = 0.5 0.5 0.867

M Magentarot

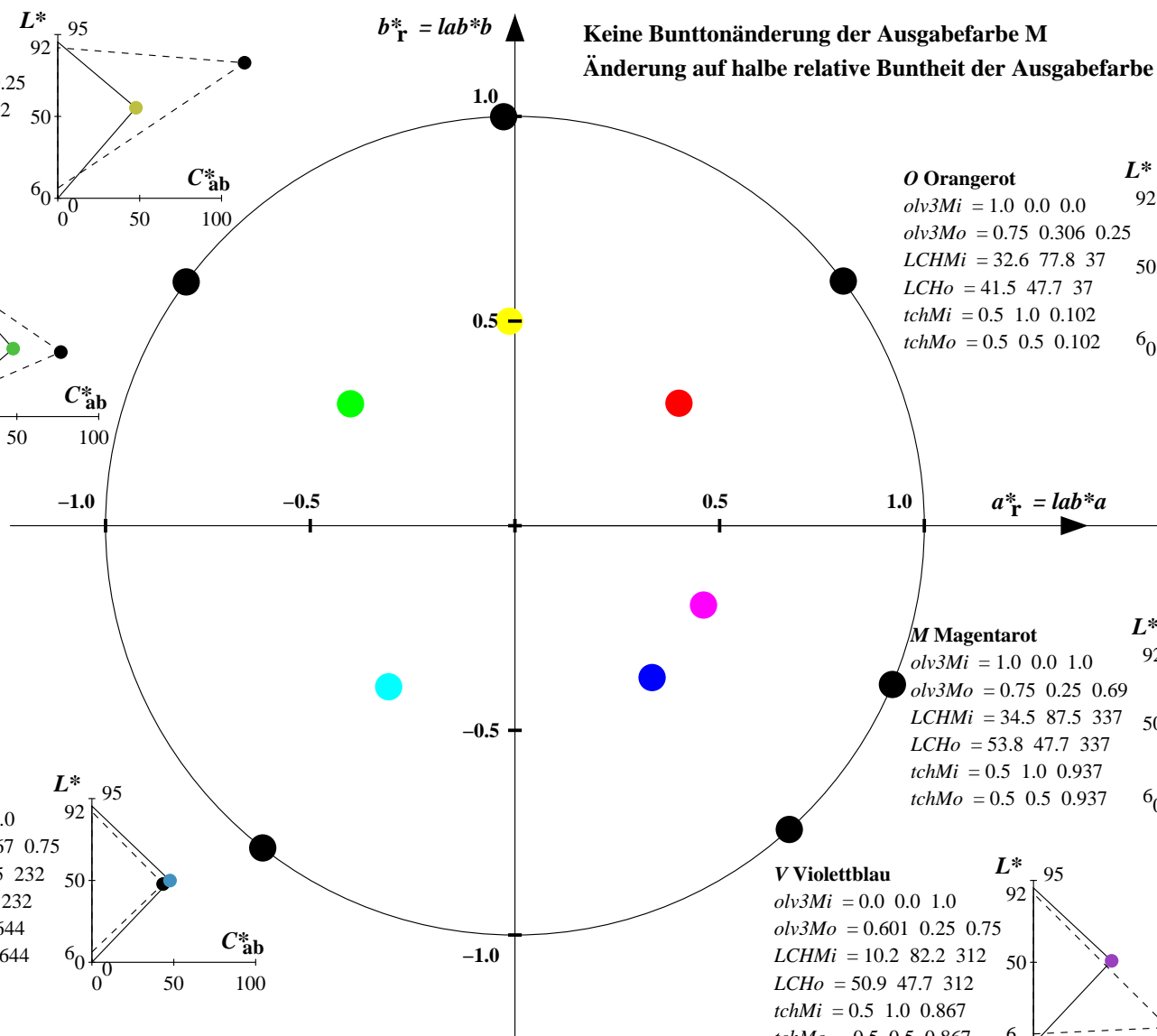
olv3Mi = 1.0 0.0 1.0
olv3Mo = 0.75 0.25 0.69
LCHMi = 34.5 87.5 337
LCHo = 53.8 47.7 337
tchMi = 0.5 1.0 0.937
tchMo = 0.5 0.5 0.937

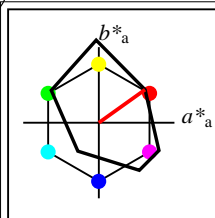
O Orangerot

olv3Mi = 1.0 0.0 0.0
olv3Mo = 0.75 0.306 0.25
LCHMi = 32.6 77.8 37
LCHo = 41.5 47.7 37
tchMi = 0.5 1.0 0.102
tchMo = 0.5 0.5 0.102

Keine Bunttonänderung der Ausgabefarbe M

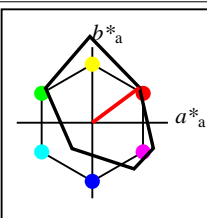
Änderung auf halbe relative Buntheit der Ausgabefarbe M





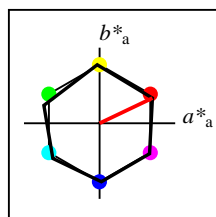
%Umfang
 $u^*_{rel} = 114$
%Regularität
 $g^*_{H,rel} = 28$
 $g^*_{C,rel} = 43$

FRS06	$L^*=L^*_a$	a^*_a	b^*_a	$C^*_{ab,a}$	$h^*_{ab,a}$
O _M	32.57	61.14	43.72	75.16	36
Y _M	82.73	-3.5	109.24	109.3	92
L _M	39.43	-62.86	42.8	76.06	146
C _M	47.86	-27.72	-37.61	46.74	234
V _M	10.16	53.56	-62.91	82.63	310
M _M	34.5	79.53	-36.76	87.62	335
N _M	6.25	-1.62	-1.72	2.38	227
W _M	91.97	-0.17	-5.1	5.11	268
R _{CIE}	39.92	58.74	27.99	65.07	25
J _{CIE}	81.26	-2.88	71.56	71.62	92
G _{CIE}	52.23	-42.41	13.6	44.55	162
B _{CIE}	30.57	1.41	-46.46	46.49	272



%Umfang
 $u^*_{rel} = 115$
%Regularität
 $g^*_{H,rel} = 28$
 $g^*_{C,rel} = 38$

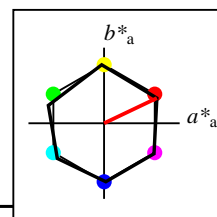
FRS06a; adaptierte CIELAB-Daten	$L^*=L^*_a$	a^*_a	b^*_a	$C^*_{ab,a}$	$h^*_{ab,a}$
O _{Ma}	32.57	62.32	46.49	77.75	37
Y _{Ma}	82.73	-3.16	113.99	114.03	92
L _{Ma}	39.43	-61.79	45.84	76.95	143
C _{Ma}	47.86	-26.79	-34.24	43.49	232
V _{Ma}	10.16	55.12	-61.03	82.24	312
M _{Ma}	34.5	80.68	-33.92	87.52	337
N _{Ma}	6.25	0.0	0.0	0.0	0
W _{Ma}	91.97	0.0	0.0	0.0	0
R _{CIE}	39.92	59.8	31.05	67.38	27
J _{CIE}	81.26	-2.52	76.25	76.29	92
G _{CIE}	52.23	-41.56	17.14	44.96	158
B _{CIE}	30.57	2.63	-43.77	43.86	273



%Umfang
 $u^*_{rel} = 100$
%Regularität
 $g^*_{H,rel} = 78$
 $g^*_{C,rel} = 100$

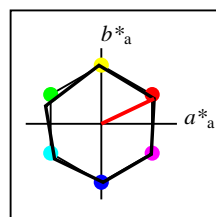
NRS18a; adaptierte CIELAB-Daten	$L^*=L^*_a$	a^*_a	b^*_a	$C^*_{ab,a}$	$h^*_{ab,a}$
O _{Ma}	56.71	69.87	33.29	77.4	25
Y _{Ma}	56.71	-3.1	77.34	77.4	92
L _{Ma}	56.71	-73.68	23.63	77.39	162
C _{Ma}	56.71	-61.81	-46.54	77.39	217
V _{Ma}	56.71	2.35	-77.34	77.39	272
M _{Ma}	56.71	66.07	-40.3	77.4	329
N _{Ma}	18.01	0.0	0.0	0.0	0
W _{Ma}	95.41	0.0	0.0	0.0	0
R _{CIE}	39.92	58.74	27.99	65.07	25
J _{CIE}	81.26	-2.88	71.56	71.62	92
G _{CIE}	52.23	-42.41	13.6	44.55	162
B _{CIE}	30.57	1.41	-46.46	46.49	272

Workflow-Wahlen
für Farbmuster:
1. keine Farbänderung
2. Buntton-Änderung
3. Buntheits-Änderung



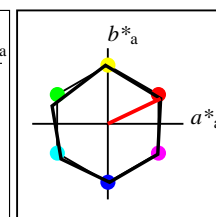
%Umfang
 $u^*_{rel} = 100$
%Regularität
 $g^*_{H,rel} = 78$
 $g^*_{C,rel} = 100$

NRS18a; adaptierte CIELAB-Daten	$L^*=L^*_a$	a^*_a	b^*_a	$C^*_{ab,a}$	$h^*_{ab,a}$
O _{Ma}	56.71	69.87	33.29	77.4	25
Y _{Ma}	56.71	-3.1	77.34	77.4	92
L _{Ma}	56.71	-73.68	23.63	77.39	162
C _{Ma}	56.71	-61.81	-46.54	77.39	217
V _{Ma}	56.71	2.35	-77.34	77.39	272
M _{Ma}	56.71	66.07	-40.3	77.4	329
N _{Ma}	18.01	0.0	0.0	0.0	0
W _{Ma}	95.41	0.0	0.0	0.0	0
R _{CIE}	39.92	58.74	27.99	65.07	25
J _{CIE}	81.26	-2.88	71.56	71.62	92
G _{CIE}	52.23	-42.41	13.6	44.55	162
B _{CIE}	30.57	1.41	-46.46	46.49	272



%Umfang
 $u^*_{rel} = 100$
%Regularität
 $g^*_{H,rel} = 78$
 $g^*_{C,rel} = 100$

NRS18a; adaptierte CIELAB-Daten	$L^*=L^*_a$	a^*_a	b^*_a	$C^*_{ab,a}$	$h^*_{ab,a}$
O _{Ma}	56.71	69.87	33.29	77.4	25
Y _{Ma}	56.71	-3.1	77.34	77.4	92
L _{Ma}	56.71	-73.68	23.63	77.39	162
C _{Ma}	56.71	-61.81	-46.54	77.39	217
V _{Ma}	56.71	2.35	-77.34	77.39	272
M _{Ma}	56.71	66.07	-40.3	77.4	329
N _{Ma}	18.01	0.0	0.0	0.0	0
W _{Ma}	95.41	0.0	0.0	0.0	0
R _{CIE}	39.92	58.74	27.99	65.07	25
J _{CIE}	81.26	-2.88	71.56	71.62	92
G _{CIE}	52.23	-42.41	13.6	44.55	162
B _{CIE}	30.57	1.41	-46.46	46.49	272



%Umfang
 $u^*_{rel} = 100$
%Regularität
 $g^*_{H,rel} = 78$
 $g^*_{C,rel} = 100$

NRS18	$L^*=L^*_a$	a^*_a	b^*_a	$C^*_{ab,a}$	$h^*_{ab,a}$
O _M	56.71	69.87	33.29	77.4	25
Y _M	56.71	-3.1	77.34	77.4	92
L _M	56.71	-73.68	23.63	77.39	162
C _M	56.71	-61.81	-46.54	77.39	217
V _M	56.71	2.35	-77.34	77.39	272
M _M	56.71	66.07	-40.3	77.4	329
N _M	18.01	0.0	0.0	0.0	0
W _M	95.41	0.0	0.0	0.0	0
R _{CIE}	39.92	58.74	27.99	65.07	25
J _{CIE}	81.26	-2.88	71.56	71.62	92
G _{CIE}	52.23	-42.41	13.6	44.55	162
B _{CIE}	30.57	1.41	-46.46	46.49	272

Relatives CIELAB-Buntheitsdiagramm: ($a_R^* = lab^*a$, $b_R^* = lab^*b$) und absolutes CIELAB Bunttondreiecks-Diagramm: (L^* , C_{ab}^*) für Ein- (---) und Ausgabe (----) FRS06: Eingabe (i) Farbmatrik-Sytem; Sechs Bunttonwinkel des Farbgerätes: (36.7, 91.6, 143.4, 232.0, 312.1, 337.2); Vier Bunttonwinkel der Elementarfarben: (27.4, 91.9, 157.6, 273.4) NRS18: Ausgabe (o) Farbmatrik-Sytem; Sechs Bunttonwinkel des Farbgerätes: (25.5, 92.3, 162.2, 217.0, 271.7, 328.6); Vier Bunttonwinkel der Elementarfarben: (25.5, 92.3, 162.2, 271.7)

Y Gelb

olv3Mi = 1.0 1.0 0.0
olv3Mo = 1.0 0.989 0.0
LCHMi = 82.7 114.0 92
LCHo = 56.7 77.4 92
tchMi = 0.5 1.0 0.254
tchMo = 0.5 1.0 0.254

L Laubgrün

olv3Mi = 0.0 1.0 0.0
olv3Mo = 0.269 1.0 0.0
LCHMi = 39.4 76.9 143
LCHo = 56.7 77.4 143
tchMi = 0.5 1.0 0.398
tchMo = 0.5 1.0 0.398

C Cyanblau

olv3Mi = 0.0 1.0 1.0
olv3Mo = 0.0 0.727 1.0
LCHMi = 47.9 43.5 232
LCHo = 56.7 77.4 232
tchMi = 0.5 1.0 0.644
tchMo = 0.5 1.0 0.644

V Violettblau

olv3Mi = 0.0 0.0 1.0
olv3Mo = 0.709 0.0 1.0
LCHMi = 10.2 82.2 312
LCHo = 56.7 77.4 312
tchMi = 0.5 1.0 0.867
tchMo = 0.5 1.0 0.867

M Magentarot

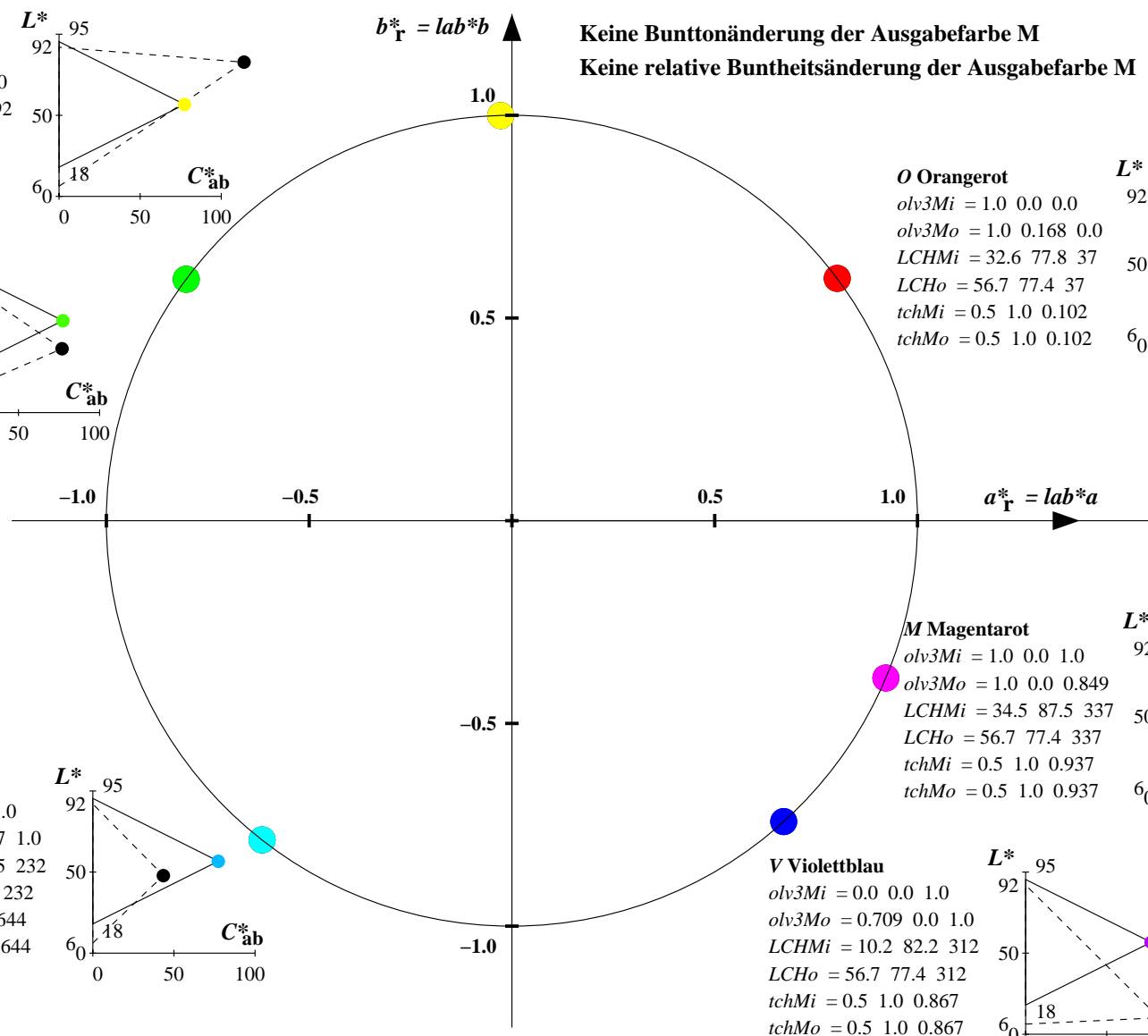
olv3Mi = 1.0 0.0 1.0
olv3Mo = 1.0 0.0 0.849
LCHMi = 34.5 87.5 337
LCHo = 56.7 77.4 337
tchMi = 0.5 1.0 0.937
tchMo = 0.5 1.0 0.937

O Orangerot

olv3Mi = 1.0 0.0 0.0
olv3Mo = 1.0 0.168 0.0
LCHMi = 32.6 77.8 37
LCHo = 56.7 77.4 37
tchMi = 0.5 1.0 0.102
tchMo = 0.5 1.0 0.102

Keine Bunttonänderung der Ausgabefarbe M

Keine relative Buntheitsänderung der Ausgabefarbe M



Relatives CIELAB-Buntheitsdiagramm: ($a_R^* = lab^*a$, $b_R^* = lab^*b$) und absolutes CIELAB Bunttondreiecks-Diagramm: (L^* , C_{ab}^*) für Ein- (---) und Ausgabe (----) FRS06: Eingabe (i) Farbmatrik-Sytem; Sechs Bunttonwinkel des Farbgerätes: (36.7, 91.6, 143.4, 232.0, 312.1, 337.2); Vier Bunttonwinkel der Elementarfarben: (27.4, 91.9, 157.6, 273.4) NRS18: Ausgabe (o) Farbmatrik-Sytem; Sechs Bunttonwinkel des Farbgerätes: (25.5, 92.3, 162.2, 217.0, 271.7, 328.6); Vier Bunttonwinkel der Elementarfarben: (25.5, 92.3, 162.2, 271.7)

Y Gelb

olv3Mi = 1.0 1.0 0.0
olv3Mo = 0.867 1.0 0.0
LCHMi = 82.7 114.0 92
LCHo = 56.7 77.4 102
tchMi = 0.5 1.0 0.254
tchMo = 0.5 1.0 0.282

L Laubgrün

olv3Mi = 0.0 1.0 0.0
olv3Mo = 0.126 1.0 0.0
LCHMi = 39.4 76.9 143
LCHo = 56.7 77.4 153
tchMi = 0.5 1.0 0.398
tchMo = 0.5 1.0 0.426

C Cyanblau

olv3Mi = 0.0 1.0 1.0
olv3Mo = 0.0 0.544 1.0
LCHMi = 47.9 43.5 232
LCHo = 56.7 77.4 242
tchMi = 0.5 1.0 0.644
tchMo = 0.5 1.0 0.672

V Violettblau

olv3Mi = 0.0 0.0 1.0
olv3Mo = 0.885 0.0 1.0
LCHMi = 10.2 82.2 312
LCHo = 56.7 77.4 322
tchMi = 0.5 1.0 0.867
tchMo = 0.5 1.0 0.895

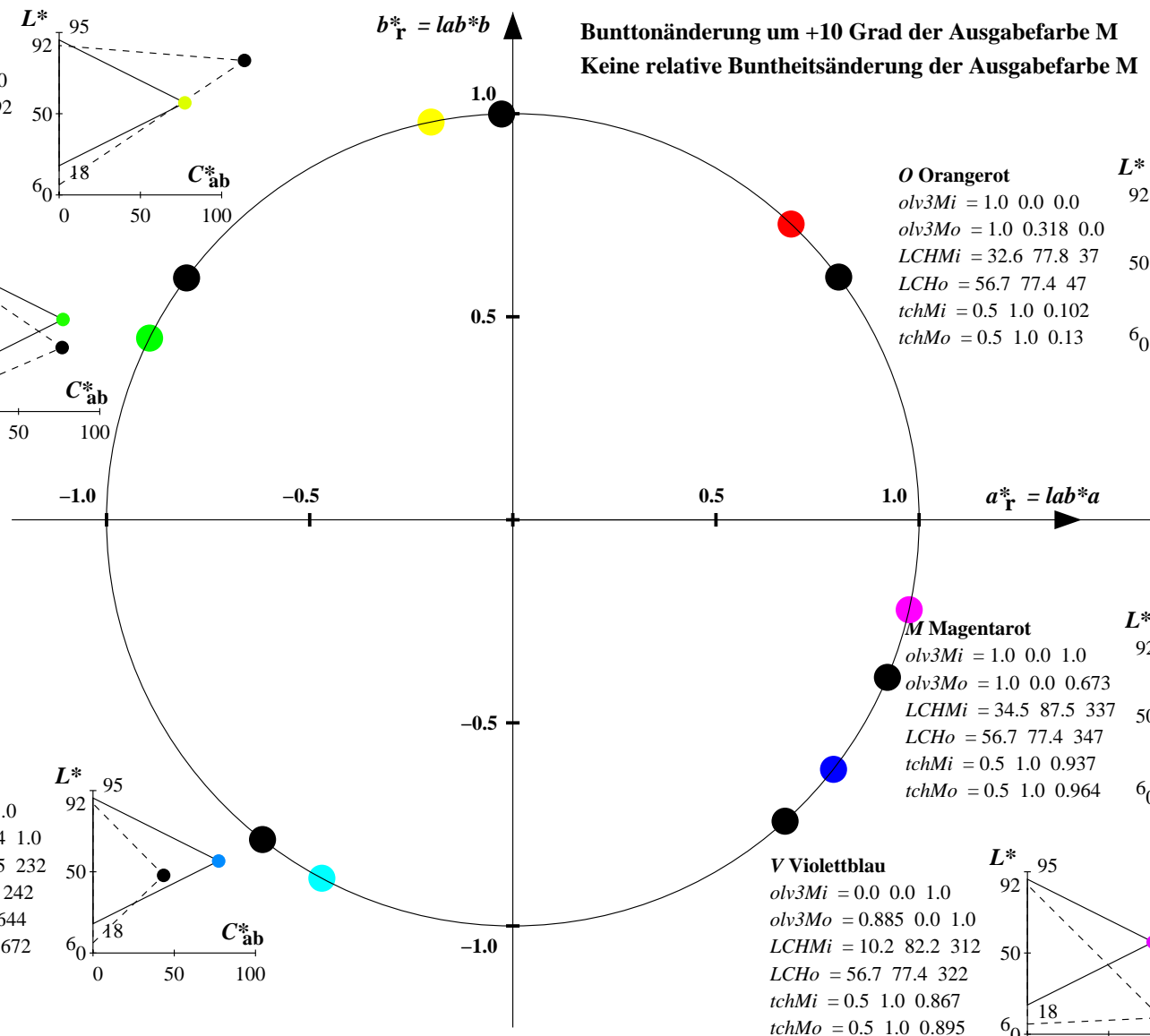
M Magentarot

olv3Mi = 1.0 0.0 1.0
olv3Mo = 1.0 0.0 0.673
LCHMi = 34.5 87.5 337
LCHo = 56.7 77.4 347
tchMi = 0.5 1.0 0.937
tchMo = 0.5 1.0 0.964

O Orangerot

olv3Mi = 1.0 0.0 0.0
olv3Mo = 1.0 0.318 0.0
LCHMi = 32.6 77.8 37
LCHo = 56.7 77.4 47
tchMi = 0.5 1.0 0.102
tchMo = 0.5 1.0 0.13

Bunttonänderung um +10 Grad der Ausgabefarbe M
Keine relative Buntheitsänderung der Ausgabefarbe M



Relatives CIELAB-Buntheitsdiagramm: ($a_R^* = lab^*a$, $b_R^* = lab^*b$) und absolutes CIELAB Bunttondreiecks-Diagramm: (L^* , C_{ab}^*) für Ein- (---) und Ausgabe (----) FRS06: Eingabe (i) Farbmatrik-Sytem; Sechs Bunttonwinkel des Farbgerätes: (36.7, 91.6, 143.4, 232.0, 312.1, 337.2); Vier Bunttonwinkel der Elementarfarben: (27.4, 91.9, 157.6, 273.4) NRS18: Ausgabe (o) Farbmatrik-Sytem; Sechs Bunttonwinkel des Farbgerätes: (25.5, 92.3, 162.2, 217.0, 271.7, 328.6); Vier Bunttonwinkel der Elementarfarben: (25.5, 92.3, 162.2, 271.7)

Y Gelb

olv3Mi = 1.0 1.0 0.0
olv3Mo = 0.75 0.745 0.25
LCHMi = 82.7 114.0 92
LCHo = 52.2 38.7 92
tchMi = 0.5 1.0 0.254
tchMo = 0.5 0.5 0.254

L Laubgrün

olv3Mi = 0.0 1.0 0.0
olv3Mo = 0.384 0.75 0.25
LCHMi = 39.4 76.9 143
LCHo = 52.2 38.7 143
tchMi = 0.5 1.0 0.398
tchMo = 0.5 0.5 0.398

C Cyanblau

olv3Mi = 0.0 1.0 1.0
olv3Mo = 0.25 0.613 0.75
LCHMi = 47.9 43.5 232
LCHo = 52.2 38.7 232
tchMi = 0.5 1.0 0.644
tchMo = 0.5 0.5 0.644

V Violettblau

olv3Mi = 0.0 0.0 1.0
olv3Mo = 0.605 0.25 0.75
LCHMi = 10.2 82.2 312
LCHo = 52.2 38.7 312
tchMi = 0.5 1.0 0.867
tchMo = 0.5 0.5 0.867

M Magentarot

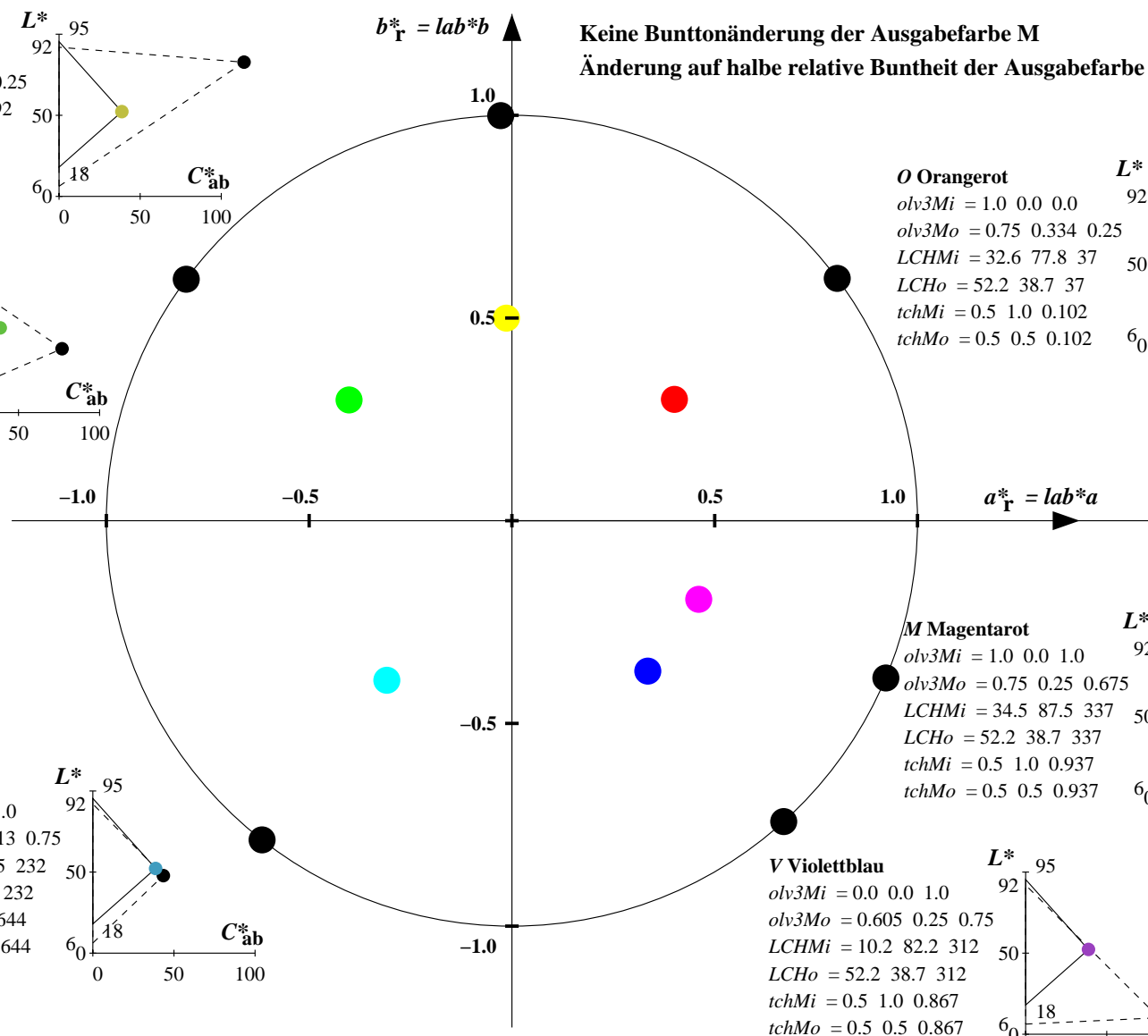
olv3Mi = 1.0 0.0 1.0
olv3Mo = 0.75 0.25 0.675
LCHMi = 34.5 87.5 337
LCHo = 52.2 38.7 337
tchMi = 0.5 1.0 0.937
tchMo = 0.5 0.5 0.937

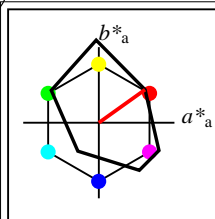
O Orangerot

olv3Mi = 1.0 0.0 0.0
olv3Mo = 0.75 0.334 0.25
LCHMi = 32.6 77.8 37
LCHo = 52.2 38.7 37
tchMi = 0.5 1.0 0.102
tchMo = 0.5 0.5 0.102

Keine Bunttonänderung der Ausgabefarbe M

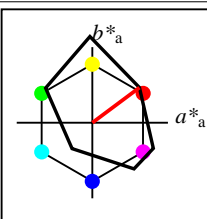
Änderung auf halbe relative Buntheit der Ausgabefarbe M





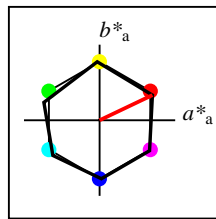
%Umfang
 $u^*_{rel} = 114$
%Regularität
 $g^*_{H,rel} = 28$
 $g^*_{C,rel} = 43$

FRS06	$L^*=L^*_a$	a^*_a	b^*_a	$C^*_{ab,a}$	$h^*_{ab,a}$
O _M	32.57	61.14	43.72	75.16	36
Y _M	82.73	-3.5	109.24	109.3	92
L _M	39.43	-62.86	42.8	76.06	146
C _M	47.86	-27.72	-37.61	46.74	234
V _M	10.16	53.56	-62.91	82.63	310
M _M	34.5	79.53	-36.76	87.62	335
N _M	6.25	-1.62	-1.72	2.38	227
W _M	91.97	-0.17	-5.1	5.11	268
R _{CIE}	39.92	58.74	27.99	65.07	25
J _{CIE}	81.26	-2.88	71.56	71.62	92
G _{CIE}	52.23	-42.41	13.6	44.55	162
B _{CIE}	30.57	1.41	-46.46	46.49	272



%Umfang
 $u^*_{rel} = 115$
%Regularität
 $g^*_{H,rel} = 28$
 $g^*_{C,rel} = 38$

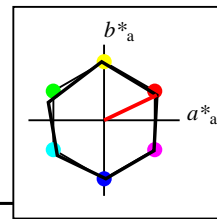
FRS06a; adaptierte CIELAB-Daten	$L^*=L^*_a$	a^*_a	b^*_a	$C^*_{ab,a}$	$h^*_{ab,a}$
O _{Ma}	32.57	62.32	46.49	77.75	37
Y _{Ma}	82.73	-3.16	113.99	114.03	92
L _{Ma}	39.43	-61.79	45.84	76.95	143
C _{Ma}	47.86	-26.79	-34.24	43.49	232
V _{Ma}	10.16	55.12	-61.03	82.24	312
M _{Ma}	34.5	80.68	-33.92	87.52	337
N _{Ma}	6.25	0.0	0.0	0.0	0
W _{Ma}	91.97	0.0	0.0	0.0	0
R _{CIE}	39.92	59.8	31.05	67.38	27
J _{CIE}	81.26	-2.52	76.25	76.29	92
G _{CIE}	52.23	-41.56	17.14	44.96	158
B _{CIE}	30.57	2.63	-43.77	43.86	273



%Umfang
 $u^*_{rel} = 100$
%Regularität
 $g^*_{H,rel} = 78$
 $g^*_{C,rel} = 100$

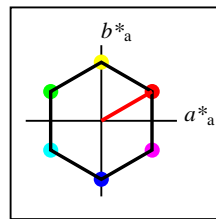
NRS18a; adaptierte CIELAB-Daten	$L^*=L^*_a$	a^*_a	b^*_a	$C^*_{ab,a}$	$h^*_{ab,a}$
O _{Ma}	56.71	69.87	33.29	77.4	25
Y _{Ma}	56.71	-3.1	77.34	77.4	92
L _{Ma}	56.71	-73.68	23.63	77.39	162
C _{Ma}	56.71	-61.81	-46.54	77.39	217
V _{Ma}	56.71	2.35	-77.34	77.39	272
M _{Ma}	56.71	66.07	-40.3	77.4	329
N _{Ma}	18.01	0.0	0.0	0.0	0
W _{Ma}	95.41	0.0	0.0	0.0	0
R _{CIE}	39.92	58.74	27.99	65.07	25
J _{CIE}	81.26	-2.88	71.56	71.62	92
G _{CIE}	52.23	-42.41	13.6	44.55	162
B _{CIE}	30.57	1.41	-46.46	46.49	272

Workflow-Wahlen
für Farbmuster:
1. keine Farbänderung
2. Buntton-Änderung
3. Buntheits-Änderung



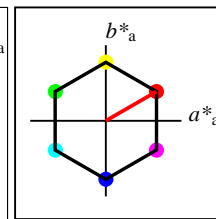
%Umfang
 $u^*_{rel} = 100$
%Regularität
 $g^*_{H,rel} = 78$
 $g^*_{C,rel} = 100$

NRS18a; adaptierte CIELAB-Daten	$L^*=L^*_a$	a^*_a	b^*_a	$C^*_{ab,a}$	$h^*_{ab,a}$
O _{Ma}	56.71	69.87	33.29	77.4	25
Y _{Ma}	56.71	-3.1	77.34	77.4	92
L _{Ma}	56.71	-73.68	23.63	77.39	162
C _{Ma}	56.71	-61.81	-46.54	77.39	217
V _{Ma}	56.71	2.35	-77.34	77.39	272
M _{Ma}	56.71	66.07	-40.3	77.4	329
N _{Ma}	18.01	0.0	0.0	0.0	0
W _{Ma}	95.41	0.0	0.0	0.0	0
R _{CIE}	39.92	58.74	27.99	65.07	25
J _{CIE}	81.26	-2.88	71.56	71.62	92
G _{CIE}	52.23	-42.41	13.6	44.55	162
B _{CIE}	30.57	1.41	-46.46	46.49	272



%Umfang
 $u^*_{rel} = 100$
%Regularität
 $g^*_{H,rel} = 100$
 $g^*_{C,rel} = 100$

SRS18a; adaptierte CIELAB-Daten	$L^*=L^*_a$	a^*_a	b^*_a	$C^*_{ab,a}$	$h^*_{ab,a}$
O _{Ma}	56.71	67.03	38.7	77.4	30
Y _{Ma}	56.71	0.0	77.4	77.4	90
L _{Ma}	56.71	-67.02	38.7	77.4	150
C _{Ma}	56.71	-67.02	-38.69	77.4	210
V _{Ma}	56.71	0.0	-77.39	77.4	270
M _{Ma}	56.71	67.03	-38.69	77.4	330
N _{Ma}	18.01	0.0	0.0	0.0	0
W _{Ma}	95.41	0.0	0.0	0.0	0
R _{CIE}	39.92	58.74	27.99	65.07	25
J _{CIE}	81.26	-2.88	71.56	71.62	92
G _{CIE}	52.23	-42.41	13.6	44.55	162
B _{CIE}	30.57	1.41	-46.46	46.49	272



%Umfang
 $u^*_{rel} = 100$
%Regularität
 $g^*_{H,rel} = 100$
 $g^*_{C,rel} = 100$

SRS18	$L^*=L^*_a$	a^*_a	b^*_a	$C^*_{ab,a}$	$h^*_{ab,a}$
O _M	56.71	67.03	38.7	77.4	30
Y _M	56.71	0.0	77.4	77.4	90
L _M	56.71	-67.02	38.7	77.4	150
C _M	56.71	-67.02	-38.69	77.4	210
V _M	56.71	0.0	-77.39	77.4	270
M _M	56.71	67.03	-38.69	77.4	330
N _M	18.01	0.0	0.0	0.0	0
W _M	95.41	0.0	0.0	0.0	0
R _{CIE}	39.92	58.74	27.99	65.07	25
J _{CIE}	81.26	-2.88	71.56	71.62	92
G _{CIE}	52.23	-42.41	13.6	44.55	162
B _{CIE}	30.57	1.41	-46.46	46.49	272

Relatives CIELAB-Buntheitsdiagramm: ($a_R^* = lab^*a$, $b_R^* = lab^*b$) und absolutes CIELAB Bunttendreiecks-Diagramm: (L^* , C_{ab}^*) für Ein- (---) und Ausgabe (----) FRS06: Eingabe (i) Farbmatrik-Sytem; Sechs Bunttonwinkel des Farbgerätes: (36.7, 91.6, 143.4, 232.0, 312.1, 337.2); Vier Bunttonwinkel der Elementarfarben: (27.4, 91.9, 157.6, 273.4) SRS18: Ausgabe (o) Farbmatrik-Sytem; Sechs Bunttonwinkel des Farbgerätes: (30.0, 90.0, 150.0, 210.0, 270.0, 330.0); Vier Bunttonwinkel der Elementarfarben: (25.5, 92.3, 162.2, 271.7)

Y Gelb

$olv3Mi = 1.0 \ 1.0 \ 0.0$
 $olv3Mo = 0.973 \ 1.0 \ 0.0$
 $LCHMi = 82.7 \ 114.0 \ 92$
 $LCHo = 56.7 \ 77.4 \ 92$
 $tchMi = 0.5 \ 1.0 \ 0.254$
 $tchMo = 0.5 \ 1.0 \ 0.254$

L Laubgrün

$olv3Mi = 0.0 \ 1.0 \ 0.0$
 $olv3Mo = 0.109 \ 1.0 \ 0.0$
 $LCHMi = 39.4 \ 76.9 \ 143$
 $LCHo = 56.7 \ 77.4 \ 143$
 $tchMi = 0.5 \ 1.0 \ 0.398$
 $tchMo = 0.5 \ 1.0 \ 0.398$

C Cyanblau

$olv3Mi = 0.0 \ 1.0 \ 1.0$
 $olv3Mo = 0.0 \ 0.634 \ 1.0$
 $LCHMi = 47.9 \ 43.5 \ 232$
 $LCHo = 56.7 \ 77.4 \ 232$
 $tchMi = 0.5 \ 1.0 \ 0.644$
 $tchMo = 0.5 \ 1.0 \ 0.644$

V Violettblau

$olv3Mi = 0.0 \ 0.0 \ 1.0$
 $olv3Mo = 0.701 \ 0.0 \ 1.0$
 $LCHMi = 10.2 \ 82.2 \ 312$
 $LCHo = 56.7 \ 77.4 \ 312$
 $tchMi = 0.5 \ 1.0 \ 0.867$
 $tchMo = 0.5 \ 1.0 \ 0.867$

M Magentarot

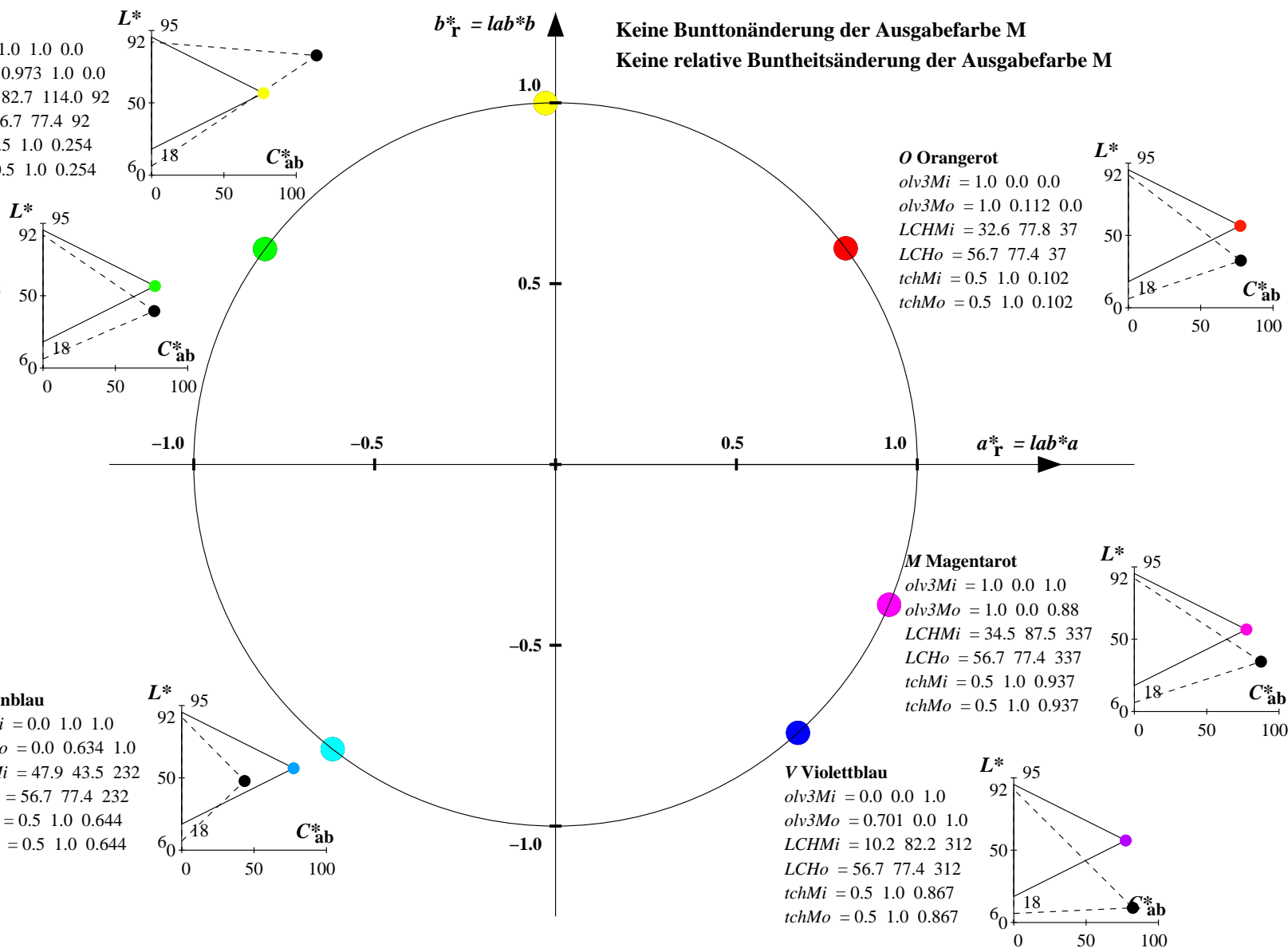
$olv3Mi = 1.0 \ 0.0 \ 1.0$
 $olv3Mo = 1.0 \ 0.0 \ 0.88$
 $LCHMi = 34.5 \ 87.5 \ 337$
 $LCHo = 56.7 \ 77.4 \ 337$
 $tchMi = 0.5 \ 1.0 \ 0.937$
 $tchMo = 0.5 \ 1.0 \ 0.937$

O Orangerot

$olv3Mi = 1.0 \ 0.0 \ 0.0$
 $olv3Mo = 1.0 \ 0.112 \ 0.0$
 $LCHMi = 32.6 \ 77.8 \ 37$
 $LCHo = 56.7 \ 77.4 \ 37$
 $tchMi = 0.5 \ 1.0 \ 0.102$
 $tchMo = 0.5 \ 1.0 \ 0.102$

Keine Bunttonänderung der Ausgabefarbe M

Keine relative Buntheitsänderung der Ausgabefarbe M



Relatives CIELAB-Buntheitsdiagramm: ($a_R^* = lab^*a$, $b_R^* = lab^*b$) und absolutes CIELAB Bunttondreiecks-Diagramm: (L^* , C_{ab}^*) für Ein- (---) und Ausgabe (----) FRS06: Eingabe (i) Farbmatrik-Sytem; Sechs Bunttonwinkel des Farbgerätes: (36.7, 91.6, 143.4, 232.0, 312.1, 337.2); Vier Bunttonwinkel der Elementarfarben: (27.4, 91.9, 157.6, 273.4) SRS18: Ausgabe (o) Farbmatrik-Sytem; Sechs Bunttonwinkel des Farbgerätes: (30.0, 90.0, 150.0, 210.0, 270.0, 330.0); Vier Bunttonwinkel der Elementarfarben: (25.5, 92.3, 162.2, 271.7)

Y Gelb

$olv3Mi = 1.0 \ 1.0 \ 0.0$
 $olv3Mo = 0.807 \ 1.0 \ 0.0$
 $LCHMi = 82.7 \ 114.0 \ 92$
 $LCHo = 56.7 \ 77.4 \ 102$
 $tchMi = 0.5 \ 1.0 \ 0.254$
 $tchMo = 0.5 \ 1.0 \ 0.282$

L Laubgrün

$olv3Mi = 0.0 \ 1.0 \ 0.0$
 $olv3Mo = 0.0 \ 1.0 \ 0.057$
 $LCHMi = 39.4 \ 76.9 \ 143$
 $LCHo = 56.7 \ 77.4 \ 153$
 $tchMi = 0.5 \ 1.0 \ 0.398$
 $tchMo = 0.5 \ 1.0 \ 0.426$

C Cyanblau

$olv3Mi = 0.0 \ 1.0 \ 1.0$
 $olv3Mo = 0.0 \ 0.467 \ 1.0$
 $LCHMi = 47.9 \ 43.5 \ 232$
 $LCHo = 56.7 \ 77.4 \ 242$
 $tchMi = 0.5 \ 1.0 \ 0.644$
 $tchMo = 0.5 \ 1.0 \ 0.672$

V Violettblau

$olv3Mi = 0.0 \ 0.0 \ 1.0$
 $olv3Mo = 0.868 \ 0.0 \ 1.0$
 $LCHMi = 10.2 \ 82.2 \ 312$
 $LCHo = 56.7 \ 77.4 \ 322$
 $tchMi = 0.5 \ 1.0 \ 0.867$
 $tchMo = 0.5 \ 1.0 \ 0.895$

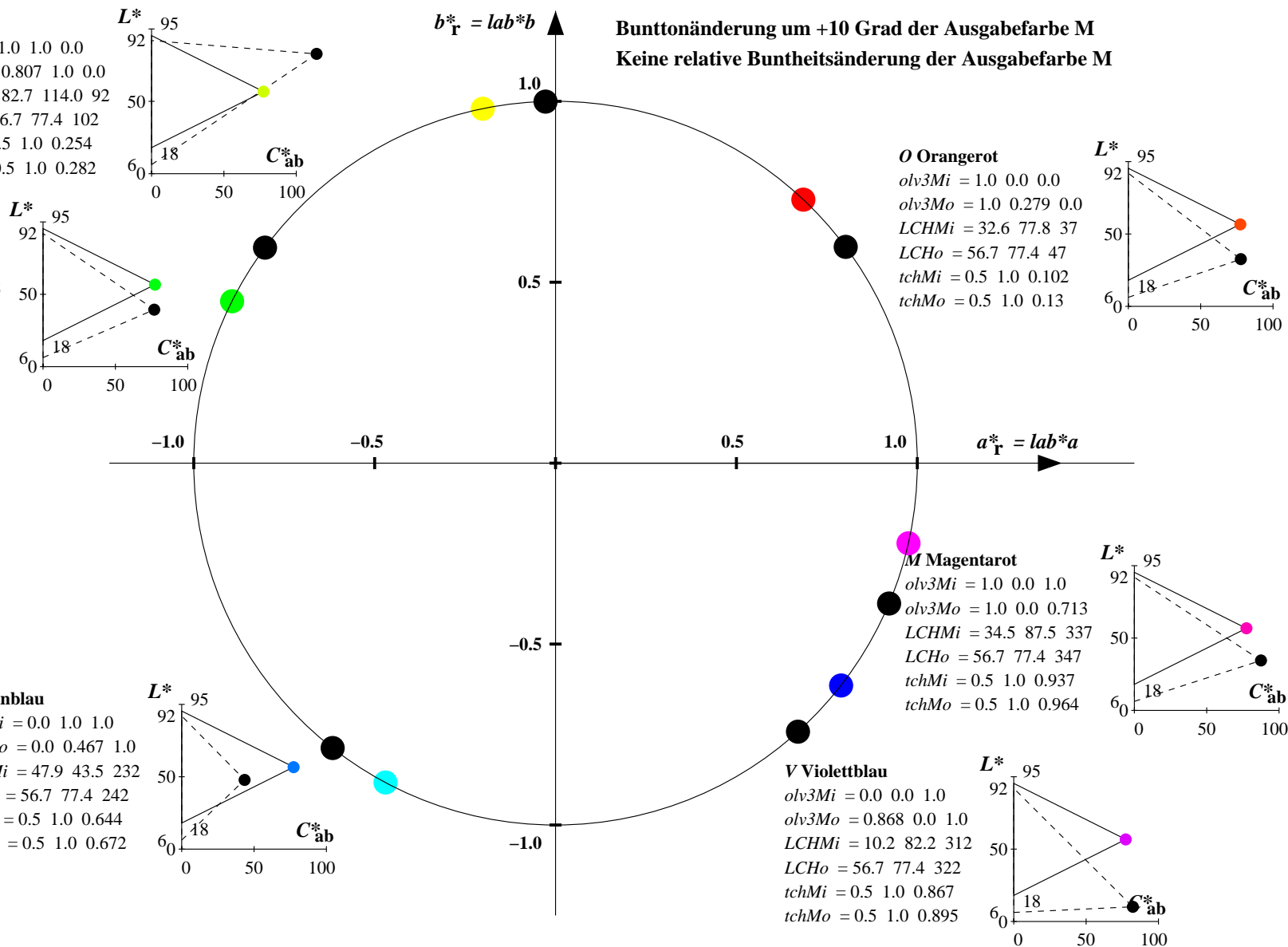
M Magentarot

$olv3Mi = 1.0 \ 0.0 \ 1.0$
 $olv3Mo = 1.0 \ 0.0 \ 0.713$
 $LCHMi = 34.5 \ 87.5 \ 337$
 $LCHo = 56.7 \ 77.4 \ 347$
 $tchMi = 0.5 \ 1.0 \ 0.937$
 $tchMo = 0.5 \ 1.0 \ 0.964$

O Orangerot

$olv3Mi = 1.0 \ 0.0 \ 0.0$
 $olv3Mo = 1.0 \ 0.279 \ 0.0$
 $LCHMi = 32.6 \ 77.8 \ 37$
 $LCHo = 56.7 \ 77.4 \ 47$
 $tchMi = 0.5 \ 1.0 \ 0.102$
 $tchMo = 0.5 \ 1.0 \ 0.13$

Bunttonänderung um +10 Grad der Ausgabefarbe M
Keine relative Buntheitsänderung der Ausgabefarbe M



Relatives CIELAB-Buntheitsdiagramm: ($a_R^* = lab^*a$, $b_R^* = lab^*b$) und absolutes CIELAB Bunttondreiecks-Diagramm: (L^* , C_{ab}^*) für Ein- (---) und Ausgabe (----) FRS06: Eingabe (i) Farbmatrik-Sytem; Sechs Bunttonwinkel des Farbgerätes: (36.7, 91.6, 143.4, 232.0, 312.1, 337.2); Vier Bunttonwinkel der Elementarfarben: (27.4, 91.9, 157.6, 273.4) SRS18: Ausgabe (o) Farbmatrik-Sytem; Sechs Bunttonwinkel des Farbgerätes: (30.0, 90.0, 150.0, 210.0, 270.0, 330.0); Vier Bunttonwinkel der Elementarfarben: (25.5, 92.3, 162.2, 271.7)

Y Gelb

$olv3Mi = 1.0 \ 1.0 \ 0.0$
 $olv3Mo = 0.737 \ 0.75 \ 0.25$
 $LCHMi = 82.7 \ 114.0 \ 92$
 $LCHo = 52.2 \ 38.7 \ 92$
 $tchMi = 0.5 \ 1.0 \ 0.254$
 $tchMo = 0.5 \ 0.5 \ 0.254$

L Laubgrün

$olv3Mi = 0.0 \ 1.0 \ 0.0$
 $olv3Mo = 0.305 \ 0.75 \ 0.25$
 $LCHMi = 39.4 \ 76.9 \ 143$
 $LCHo = 52.2 \ 38.7 \ 143$
 $tchMi = 0.5 \ 1.0 \ 0.398$
 $tchMo = 0.5 \ 0.5 \ 0.398$

C Cyanblau

$olv3Mi = 0.0 \ 1.0 \ 1.0$
 $olv3Mo = 0.25 \ 0.567 \ 0.75$
 $LCHMi = 47.9 \ 43.5 \ 232$
 $LCHo = 52.2 \ 38.7 \ 232$
 $tchMi = 0.5 \ 1.0 \ 0.644$
 $tchMo = 0.5 \ 0.5 \ 0.644$

V Violettblau

$olv3Mi = 0.0 \ 0.0 \ 1.0$
 $olv3Mo = 0.601 \ 0.25 \ 0.75$
 $LCHMi = 10.2 \ 82.2 \ 312$
 $LCHo = 52.2 \ 38.7 \ 312$
 $tchMi = 0.5 \ 1.0 \ 0.867$
 $tchMo = 0.5 \ 0.5 \ 0.867$

M Magentarot

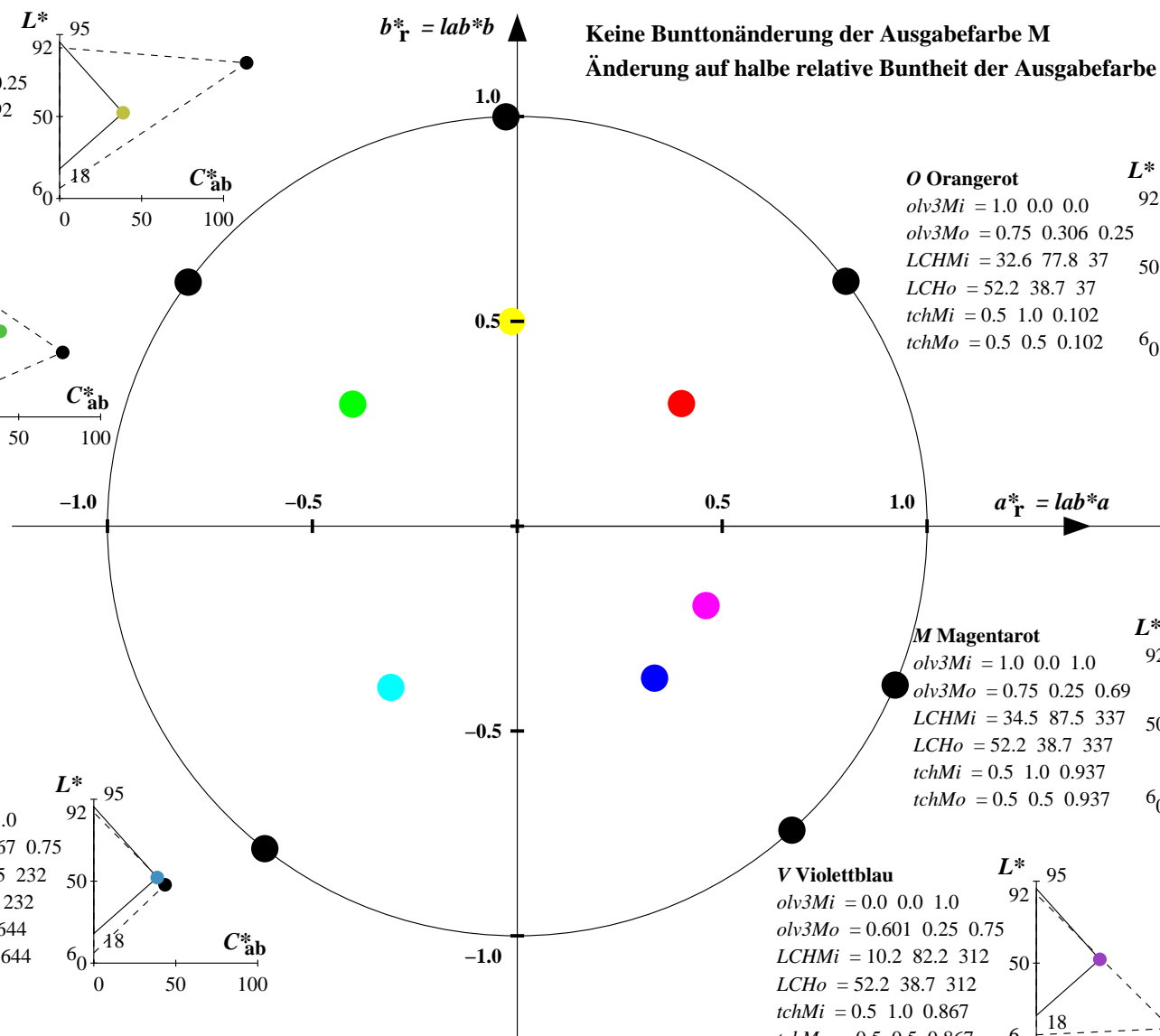
$olv3Mi = 1.0 \ 0.0 \ 1.0$
 $olv3Mo = 0.75 \ 0.25 \ 0.69$
 $LCHMi = 34.5 \ 87.5 \ 337$
 $LCHo = 52.2 \ 38.7 \ 337$
 $tchMi = 0.5 \ 1.0 \ 0.937$
 $tchMo = 0.5 \ 0.5 \ 0.937$

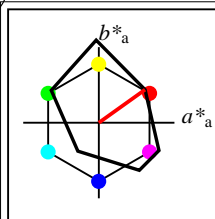
O Orangerot

$olv3Mi = 1.0 \ 0.0 \ 0.0$
 $olv3Mo = 0.75 \ 0.306 \ 0.25$
 $LCHMi = 32.6 \ 77.8 \ 37$
 $LCHo = 52.2 \ 38.7 \ 37$
 $tchMi = 0.5 \ 1.0 \ 0.102$
 $tchMo = 0.5 \ 0.5 \ 0.102$

Keine Bunttonänderung der Ausgabefarbe M

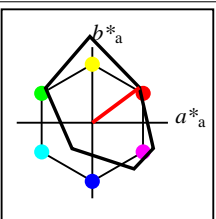
Änderung auf halbe relative Buntheit der Ausgabefarbe M





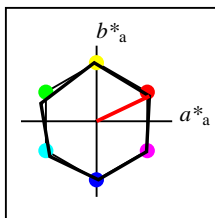
%Umfang
 $u^*_{rel} = 114$
%Regularität
 $g^*_{H,rel} = 28$
 $g^*_{C,rel} = 43$

FRS06	$L^*=L^*_a$	a^*_a	b^*_a	$C^*_{ab,a}$	$h^*_{ab,a}$
O _M	32.57	61.14	43.72	75.16	36
Y _M	82.73	-3.5	109.24	109.3	92
L _M	39.43	-62.86	42.8	76.06	146
C _M	47.86	-27.72	-37.61	46.74	234
V _M	10.16	53.56	-62.91	82.63	310
M _M	34.5	79.53	-36.76	87.62	335
N _M	6.25	-1.62	-1.72	2.38	227
W _M	91.97	-0.17	-5.1	5.11	268
R _{CIE}	39.92	58.74	27.99	65.07	25
J _{CIE}	81.26	-2.88	71.56	71.62	92
G _{CIE}	52.23	-42.41	13.6	44.55	162
B _{CIE}	30.57	1.41	-46.46	46.49	272



%Umfang
 $u^*_{rel} = 115$
%Regularität
 $g^*_{H,rel} = 28$
 $g^*_{C,rel} = 38$

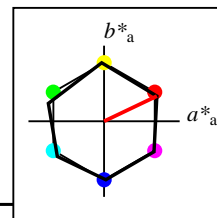
FRS06a; adaptierte CIELAB-Daten	$L^*=L^*_a$	a^*_a	b^*_a	$C^*_{ab,a}$	$h^*_{ab,a}$
O _{Ma}	32.57	62.32	46.49	77.75	37
Y _{Ma}	82.73	-3.16	113.99	114.03	92
L _{Ma}	39.43	-61.79	45.84	76.95	143
C _{Ma}	47.86	-26.79	-34.24	43.49	232
V _{Ma}	10.16	55.12	-61.03	82.24	312
M _{Ma}	34.5	80.68	-33.92	87.52	337
N _{Ma}	6.25	0.0	0.0	0.0	0
W _{Ma}	91.97	0.0	0.0	0.0	0
R _{CIE}	39.92	59.8	31.05	67.38	27
J _{CIE}	81.26	-2.52	76.25	76.29	92
G _{CIE}	52.23	-41.56	17.14	44.96	158
B _{CIE}	30.57	2.63	-43.77	43.86	273



%Umfang
 $u^*_{rel} = 100$
%Regularität
 $g^*_{H,rel} = 78$
 $g^*_{C,rel} = 100$

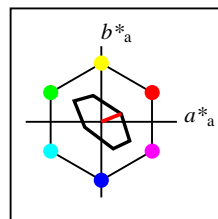
NRS18a; adaptierte CIELAB-Daten	$L^*=L^*_a$	a^*_a	b^*_a	$C^*_{ab,a}$	$h^*_{ab,a}$
O _{Ma}	56.71	69.87	33.29	77.4	25
Y _{Ma}	56.71	-3.1	77.34	77.4	92
L _{Ma}	56.71	-73.68	23.63	77.39	162
C _{Ma}	56.71	-61.81	-46.54	77.39	217
V _{Ma}	56.71	2.35	-77.34	77.39	272
M _{Ma}	56.71	66.07	-40.3	77.4	329
N _{Ma}	18.01	0.0	0.0	0.0	0
W _{Ma}	95.41	0.0	0.0	0.0	0
R _{CIE}	39.92	58.74	27.99	65.07	25
J _{CIE}	81.26	-2.88	71.56	71.62	92
G _{CIE}	52.23	-42.41	13.6	44.55	162
B _{CIE}	30.57	1.41	-46.46	46.49	272

Workflow-Wahlen
für Farbmuster:
1. keine Farbänderung
2. Buntton-Änderung
3. Buntheits-Änderung



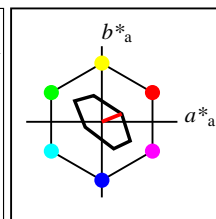
%Umfang
 $u^*_{rel} = 100$
%Regularität
 $g^*_{H,rel} = 78$
 $g^*_{C,rel} = 100$

NRS18a; adaptierte CIELAB-Daten	$L^*=L^*_a$	a^*_a	b^*_a	$C^*_{ab,a}$	$h^*_{ab,a}$
O _{Ma}	56.71	69.87	33.29	77.4	25
Y _{Ma}	56.71	-3.1	77.34	77.4	92
L _{Ma}	56.71	-73.68	23.63	77.39	162
C _{Ma}	56.71	-61.81	-46.54	77.39	217
V _{Ma}	56.71	2.35	-77.34	77.39	272
M _{Ma}	56.71	66.07	-40.3	77.4	329
N _{Ma}	18.01	0.0	0.0	0.0	0
W _{Ma}	95.41	0.0	0.0	0.0	0
R _{CIE}	39.92	58.74	27.99	65.07	25
J _{CIE}	81.26	-2.88	71.56	71.62	92
G _{CIE}	52.23	-42.41	13.6	44.55	162
B _{CIE}	30.57	1.41	-46.46	46.49	272



%Umfang
 $u^*_{rel} = 16$
%Regularität
 $g^*_{H,rel} = 34$
 $g^*_{C,rel} = 51$

TLS70a; adaptierte CIELAB-Daten	$L^*=L^*_a$	a^*_a	b^*_a	$C^*_{ab,a}$	$h^*_{ab,a}$
O _{Ma}	76.43	26.27	10.57	28.32	22
Y _{Ma}	93.93	-10.76	34.63	36.27	107
L _{Ma}	89.32	-35.8	27.64	45.24	142
C _{Ma}	90.93	-21.95	-7.07	23.07	198
V _{Ma}	72.1	15.76	-35.63	38.97	294
M _{Ma}	78.5	37.52	-25.23	45.22	326
N _{Ma}	69.7	0.0	0.0	0.0	0
W _{Ma}	95.41	0.0	0.0	0.0	0
R _{CIE}	39.92	58.74	27.99	65.07	25
J _{CIE}	81.26	-2.88	71.56	71.62	92
G _{CIE}	52.23	-42.41	13.6	44.55	162
B _{CIE}	30.57	1.41	-46.46	46.49	272



%Umfang
 $u^*_{rel} = 16$
%Regularität
 $g^*_{H,rel} = 34$
 $g^*_{C,rel} = 51$

TLS70	$L^*=L^*_a$	a^*_a	b^*_a	$C^*_{ab,a}$	$h^*_{ab,a}$
O _M	76.43	26.27	10.57	28.32	22
Y _M	93.93	-10.76	34.63	36.27	107
L _M	89.32	-35.8	27.64	45.24	142
C _M	90.93	-21.95	-7.07	23.07	198
V _M	72.1	15.76	-35.63	38.97	294
M _M	78.5	37.52	-25.23	45.22	326
N _M	69.7	0.0	0.0	0.0	0
W _M	95.41	0.0	0.0	0.0	0
R _{CIE}	39.92	58.74	27.99	65.07	25
J _{CIE}	81.26	-2.88	71.56	71.62	92
G _{CIE}	52.23	-42.41	13.6	44.55	162
B _{CIE}	30.57	1.41	-46.46	46.49	272

Relatives CIELAB-Buntheitsdiagramm: ($a_R^* = lab^*a$, $b_R^* = lab^*b$) und absolutes CIELAB Bunttondreiecks-Diagramm: (L^* , C_{ab}^*) für Ein- (---) und Ausgabe (----) FRS06: Eingabe (i) Farbmatrik-Sytem; Sechs Bunttonwinkel des Farbgerätes: (36.7, 91.6, 143.4, 232.0, 312.1, 337.2); Vier Bunttonwinkel der Elementarfarben: (27.4, 91.9, 157.6, 273.4)
TLS70: Ausgabe (o) Farbmatrik-Sytem; Sechs Bunttonwinkel des Farbgerätes: (21.9, 107.3, 142.3, 197.9, 293.9, 326.1); Vier Bunttonwinkel der Elementarfarben: (25.5, 92.3, 162.2, 271.7)

Y Gelb

$olv3Mi = 1.0 \ 1.0 \ 0.0$
 $olv3Mo = 1.0 \ 0.816 \ 0.0$
 $LCHMi = 82.7 \ 114.0 \ 92$
 $LCHo = 90.7 \ 34.8 \ 92$
 $tchMi = 0.5 \ 1.0 \ 0.254$
 $tchMo = 0.5 \ 1.0 \ 0.254$

L Laubgrün

$olv3Mi = 0.0 \ 1.0 \ 0.0$
 $olv3Mo = 0.0 \ 1.0 \ 0.02$
 $LCHMi = 39.4 \ 76.9 \ 143$
 $LCHo = 89.4 \ 44.8 \ 143$
 $tchMi = 0.5 \ 1.0 \ 0.398$
 $tchMo = 0.5 \ 1.0 \ 0.398$

C Cyanblau

$olv3Mi = 0.0 \ 1.0 \ 1.0$
 $olv3Mo = 0.0 \ 0.645 \ 1.0$
 $LCHMi = 47.9 \ 43.5 \ 232$
 $LCHo = 84.2 \ 28.7 \ 232$
 $tchMi = 0.5 \ 1.0 \ 0.644$
 $tchMo = 0.5 \ 1.0 \ 0.644$

V Violettblau

$olv3Mi = 0.0 \ 0.0 \ 1.0$
 $olv3Mo = 0.566 \ 0.0 \ 1.0$
 $LCHMi = 10.2 \ 82.2 \ 312$
 $LCHo = 75.7 \ 42.5 \ 312$
 $tchMi = 0.5 \ 1.0 \ 0.867$
 $tchMo = 0.5 \ 1.0 \ 0.867$

M Magentarot

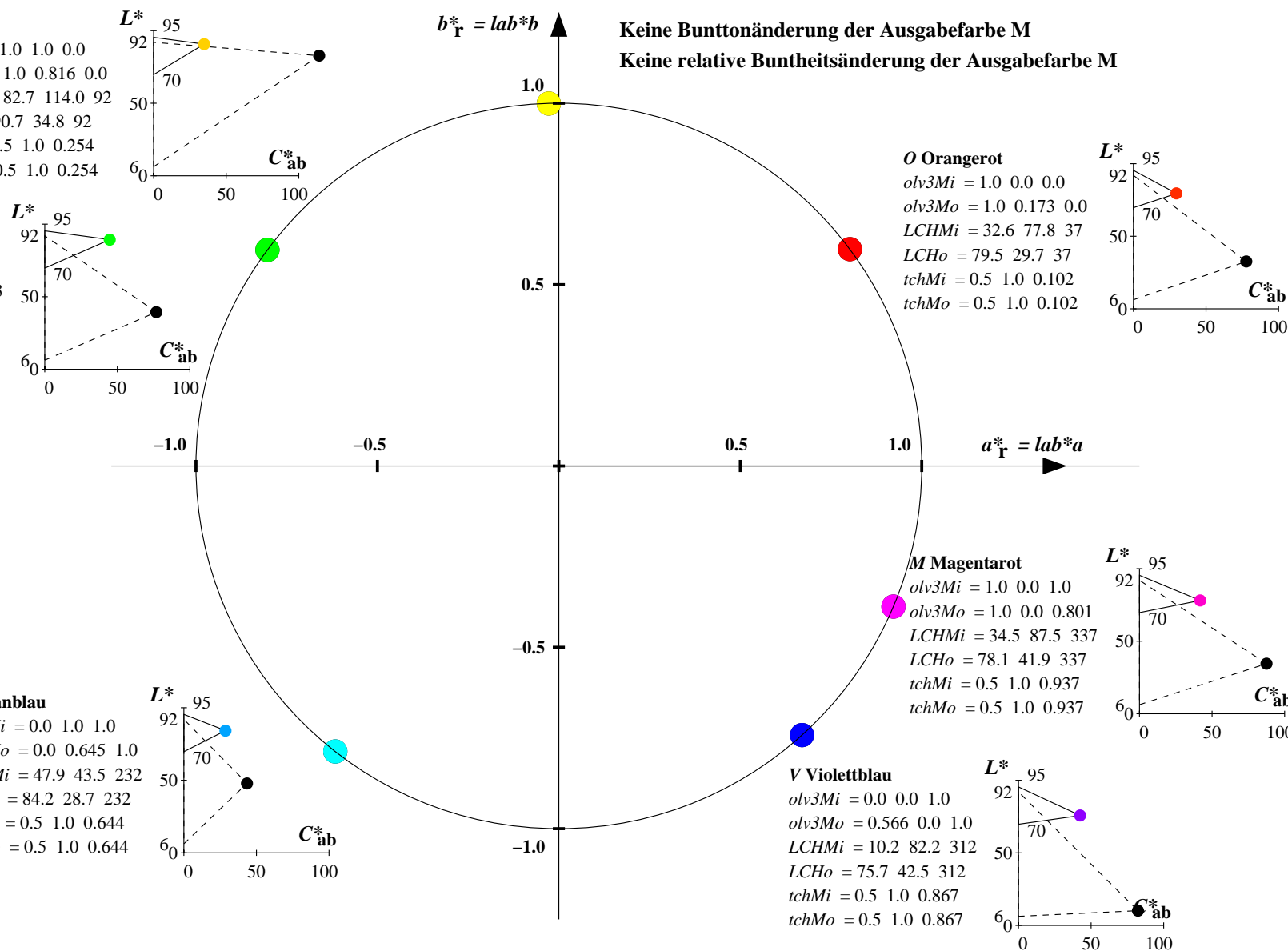
$olv3Mi = 1.0 \ 0.0 \ 1.0$
 $olv3Mo = 1.0 \ 0.0 \ 0.801$
 $LCHMi = 34.5 \ 87.5 \ 337$
 $LCHo = 78.1 \ 41.9 \ 337$
 $tchMi = 0.5 \ 1.0 \ 0.937$
 $tchMo = 0.5 \ 1.0 \ 0.937$

O Orangerot

$olv3Mi = 1.0 \ 0.0 \ 0.0$
 $olv3Mo = 1.0 \ 0.173 \ 0.0$
 $LCHMi = 32.6 \ 77.8 \ 37$
 $LCHo = 79.5 \ 29.7 \ 37$
 $tchMi = 0.5 \ 1.0 \ 0.102$
 $tchMo = 0.5 \ 1.0 \ 0.102$

Keine Bunttonänderung der Ausgabefarbe M

Keine relative Buntheitsänderung der Ausgabefarbe M



Relatives CIELAB-Buntheitsdiagramm: ($a_R^* = lab^*a$, $b_R^* = lab^*b$) und absolutes CIELAB Bunttondreiecks-Diagramm: (L^* , C_{ab}^*) für Ein- (---) und Ausgabe (----) FRS06: Eingabe (i) Farbmatrik-Sytem; Sechs Bunttonwinkel des Farbgerätes: (36.7, 91.6, 143.4, 232.0, 312.1, 337.2); Vier Bunttonwinkel der Elementarfarben: (27.4, 91.9, 157.6, 273.4)
TLS70: Ausgabe (o) Farbmatrik-Sytem; Sechs Bunttonwinkel des Farbgerätes: (21.9, 107.3, 142.3, 197.9, 293.9, 326.1); Vier Bunttonwinkel der Elementarfarben: (25.5, 92.3, 162.2, 271.7)

Y Gelb

$olv3Mi = 1.0 \ 1.0 \ 0.0$
 $olv3Mo = 1.0 \ 0.934 \ 0.0$
 $LCHMi = 82.7 \ 114.0 \ 92$
 $LCHo = 92.8 \ 35.7 \ 102$
 $tchMi = 0.5 \ 1.0 \ 0.254$
 $tchMo = 0.5 \ 1.0 \ 0.282$

L Laubgrün

$olv3Mi = 0.0 \ 1.0 \ 0.0$
 $olv3Mo = 0.0 \ 1.0 \ 0.2$
 $LCHMi = 39.4 \ 76.9 \ 143$
 $LCHo = 89.6 \ 40.8 \ 153$
 $tchMi = 0.5 \ 1.0 \ 0.398$
 $tchMo = 0.5 \ 1.0 \ 0.426$

C Cyanblau

$olv3Mi = 0.0 \ 1.0 \ 1.0$
 $olv3Mo = 0.0 \ 0.541 \ 1.0$
 $LCHMi = 47.9 \ 43.5 \ 232$
 $LCHo = 82.3 \ 30.4 \ 242$
 $tchMi = 0.5 \ 1.0 \ 0.644$
 $tchMo = 0.5 \ 1.0 \ 0.672$

O Orangerot

$olv3Mi = 1.0 \ 0.0 \ 0.0$
 $olv3Mo = 1.0 \ 0.291 \ 0.0$
 $LCHMi = 32.6 \ 77.8 \ 37$
 $LCHo = 81.5 \ 30.6 \ 47$
 $tchMi = 0.5 \ 1.0 \ 0.102$
 $tchMo = 0.5 \ 1.0 \ 0.13$

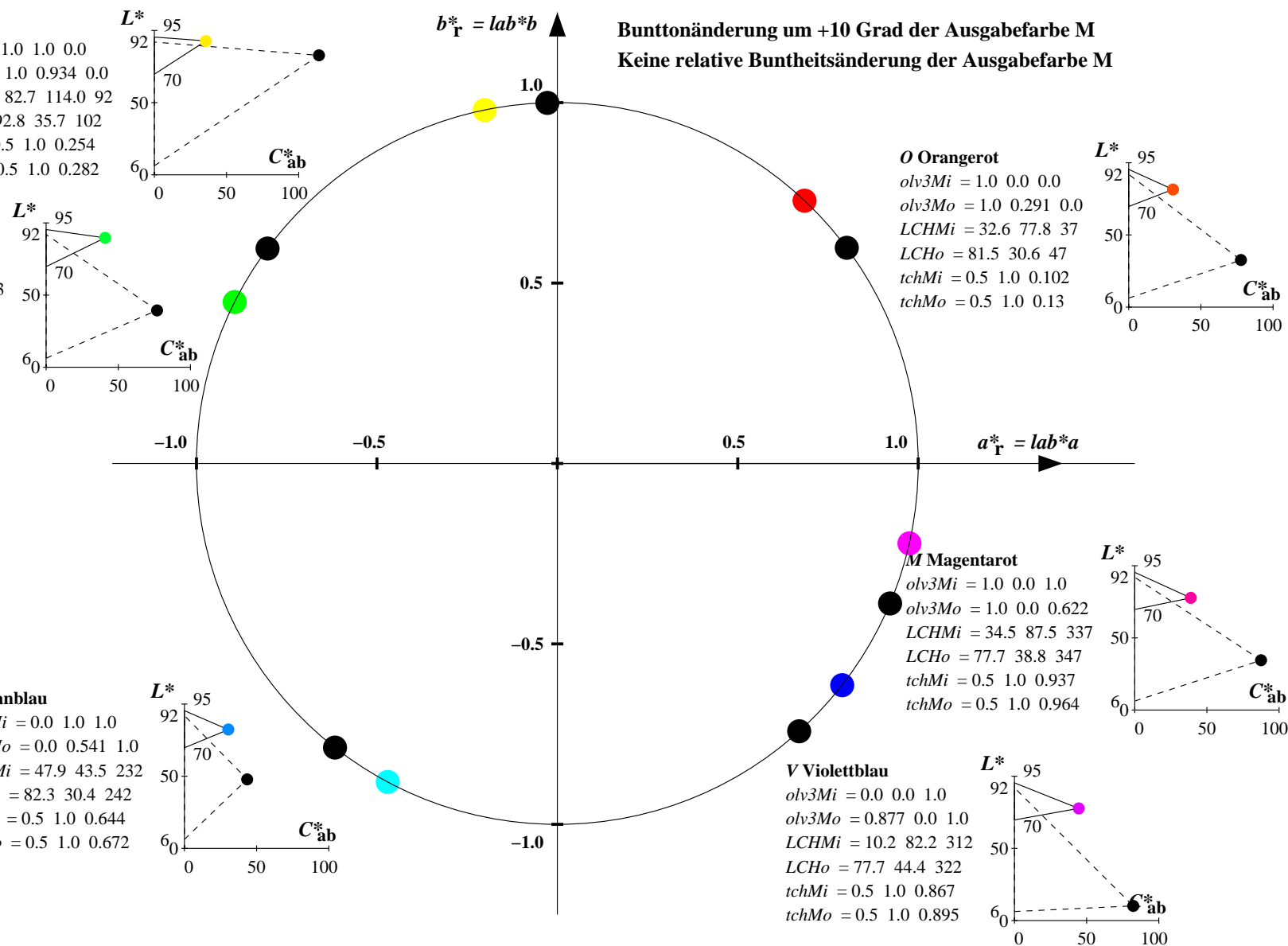
M Magentarot

$olv3Mi = 1.0 \ 0.0 \ 1.0$
 $olv3Mo = 1.0 \ 0.0 \ 0.622$
 $LCHMi = 34.5 \ 87.5 \ 337$
 $LCHo = 77.7 \ 38.8 \ 347$
 $tchMi = 0.5 \ 1.0 \ 0.937$
 $tchMo = 0.5 \ 1.0 \ 0.964$

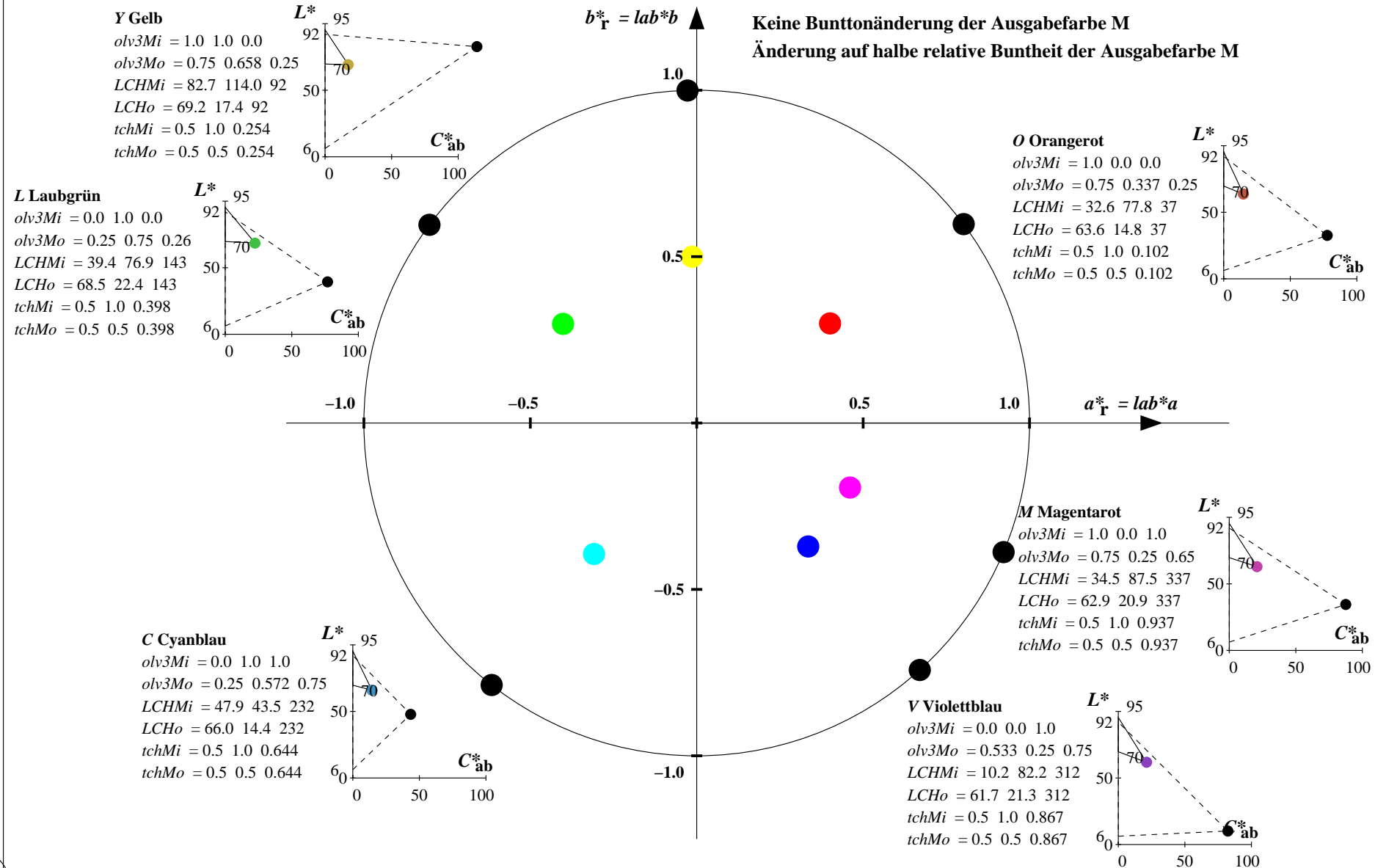
V Violettblau

$olv3Mi = 0.0 \ 0.0 \ 1.0$
 $olv3Mo = 0.877 \ 0.0 \ 1.0$
 $LCHMi = 10.2 \ 82.2 \ 312$
 $LCHo = 77.7 \ 44.4 \ 322$
 $tchMi = 0.5 \ 1.0 \ 0.867$
 $tchMo = 0.5 \ 1.0 \ 0.895$

Bunttonänderung um +10 Grad der Ausgabefarbe M
Keine relative Buntheitsänderung der Ausgabefarbe M



Relatives CIELAB-Buntheitsdiagramm: ($a_R^* = lab^*a$, $b_R^* = lab^*b$) und absolutes CIELAB Bunttondreiecks-Diagramm: (L^* , C_{ab}^*) für Ein- (---) und Ausgabe (----) FRS06: Eingabe (i) Farbmatrik-Sytem; Sechs Bunttonwinkel des Farbgerätes: (36.7, 91.6, 143.4, 232.0, 312.1, 337.2); Vier Bunttonwinkel der Elementarfarben: (27.4, 91.9, 157.6, 273.4)
TLS70: Ausgabe (o) Farbmatrik-Sytem; Sechs Bunttonwinkel des Farbgerätes: (21.9, 107.3, 142.3, 197.9, 293.9, 326.1); Vier Bunttonwinkel der Elementarfarben: (25.5, 92.3, 162.2, 271.7)



YG620-7, Farb-Management-Workflow: Geräte-Farbeingabedaten des Farbenraums FRS06 -> Geräte-Farbausgabedaten des Farbenraums TLS70, Seite 32/32

BAM-Prüfvorlage YG62; Farbmatrikworkflow FRS06->TLS70 Eingabe: olv* setrgbcolor
D65: 6 Grundfarben; Geräte- und Musterdaten; Seite 32/32 Ausgabe: keine Eingabeänderung